

## Study of Quantum Decoherence in a Finite System.

— Three Schrödinger Cats and Crossing of Classical Orbits. —

Takuji ISHIKAWA

*Graduate School of Science and Engineering, Ibaraki University,  
Mito 310-8512, Ibaraki, Japan*

原子核はある意味では、むしろ古典的なシステムである。昔は、それらの現象は液滴模型のような古典的な描像によって大まかに説明されていた。この事実は、私達が原子核のような有限量子多体系を見る時、それは量子力学的な粒子の集団であるにも関わらず、その集団的自由度が何らかの古典的性質を持っていると理解出来るかも知れない。古典性の獲得というのは、その物体の空間的スケールには依存しない。それはデコヒーレンスという現象によって引き起こされる。私達は原子核のような有限系におけるデコヒーレンスについて研究してきた。この論文では、調和振動子3体問題(3匹のシュレーディンガー猫模型)において、部分系としての1自由度が、他の2自由度のために古典性を獲得する事が示される。それゆえに私達は、原子核の集団的自由度が、何らかの内部自由度と結合している場合には、それが古典性を獲得し得ると期待できる。この論文ではまた、3匹のシュレーディンガー猫模型において、量子デコヒーレンスと古典軌道交差に何らかの関係がある事も記してある。

Nuclei are rather classical systems in a sense. In the old days, their phenomena were roughly explained in classical rules such as the liquid drop model. This fact may be understood that when we see an finite quantum many body system like nucleus, though which is a group of quantum mechanical particles, its any collective degree of freedom has any classicality. Getting a classicality does not depend on spatial scales of objects. It is made by a phenomenon called Quantum Decoherence. We have studied about Quantum Decoherence in a finite system as nucleus. In this paper, at the harmonic three body problem (3 Schrödinger cats), it is shown that one degree of freedom as a sub-system would get classicality because of the other two degrees of freedom. Therefore we can assume that a nuclear collective degree of freedom would get classicality when it couples with any other internal degrees of freedom. In this paper, we also note that there is some relationship between the Quantum Decoherence and Crossing of classical orbits in 3 Schrödinger cats model.

### §1. Introduction.

デコヒーレンスは非ユニタリ過程の一種であり、異なる量子状態間の量子干渉の消失を意味する。その原因として、外部からの揺動と外部への散逸が知られている。この現象は「波動関数の収縮」を意味する。なぜならば、量子干渉は異なる量子状態への遷移確率と等価であるためである。量子干渉が消えてしまえば、系は異なる量子状態へと移ることが出来ない、この事は、系が実質的な古典性を獲得した事を意味する。それゆえに、あなたは観測行為もまたデコヒーレンスを引き起こすと期待できる。揺動、散逸そして観測行為に共通する事は、それらが不可逆過程であるという事である。それゆえに、不可逆過程とデコヒーレンスの間には何らかの関係がある事が推測される。

Decoherence is a kind of non-unitary process, which is a disappearance of quantum interferences among different state vectors. Its origin is known as external fluctuations and dissipations. This phenomenon means “the collapse of wave function”. Because the interference is equal to the transition probability to the other quantum states. When the interference vanishes, the system can not be transported

to any other quantum states, it means the system gets effective classicality. So you can expect that an observation may also cause decoherence. The similarity among fluctuations, dissipations and observations is that these are irreversible processes. Therefore, it is supposed that there is any relation between irreversibility and quantum decoherence.

古典力学では、不可逆性は粗視化の手法によって現れる事が知られている。例えばランジュバン方程式はニュートン方程式に減衰項(散逸)とランダム外力項(揺動)を加えたものであり、液体中の粒子の運動のような不可逆過程を記述する。可逆なニュートン方程式やハミルトン方程式から、不可逆なランジュバン方程式を導くためには、射影演算子を用いて液体分子について平均化するが、これは一種の粗視化である。

In classical mechanics, it is known that the irreversibility is made by the coarse graining procedure. For example, the Langevin equation is the Newton equation with damping (dissipation) and random force (fluctuation), which describes irreversible processes such as a motion of a particle in liquid. To derive the irreversible Langevin equation from the reversible Newton equation or Hamilton equation, we need to average out about degrees of freedom of liquid molecules using the projection operators, that is a kind of coarse graining.

デコヒーレンスは以下に示すような、量子力学における多くのパラドックスを解決すると期待できる。

We can expect that Decoherence would solve a lot of quantum mechanical paradoxes as follows.

### 1.1. *Schrödinger's cat.*

“シュレーディンガーの猫”の有名な話は、量子力学の基礎方程式であるシュレーディンガー方程式の、ユニタリ的時間発展という性質によるものである。ユニタリ的な時間発展では、それぞれの状態ベクトルは決して消える事が無く、それらの状態の重ね合わせは永遠に維持されるように思える。微視的な世界に対しては、私達はこのルールを受け入れる事が出来るかも知れない。しかしシュレーディンガーは2つの微視的な量子状態が、私達の世界の2つの巨視的状态のそれぞれに反映するような、有名なシステムを考え出した。

The famous story of “the Schrödinger's cat” is due to the unitary evolution of the Schrödinger equation which is the basic equation of the Quantum Mechanics. By unitary evolutions, each state vector will never vanish, and the superposition of states will be kept forever. For microscopic world, we may accept this rule. But Schrödinger thought up a famous system in which the two microscopic quantum states reflect the two macroscopic states in our world respectively.

箱の中に、一つの不安定原子核と検知器、ハンマーとガラス瓶に入った毒薬そして一匹の生きた猫が入っている。原子核が崩壊した時には放射線が発生し、検知器がそれを感知するとハンマーが毒薬の入った瓶を壊し、猫は死ぬ。原子核が崩壊していない時には、猫は死なない。そこでは、原子核の状態のそれぞれが猫の状態のそれぞれに対応している。

In a box, there are an unstable nucleus, a geiger counter, a hammer, poison in a glass bottle, and a living cat. When the nucleus decays and a radiation occurs, the geiger counter will sense it, then the hammer will crash the poison bottle, and the

cat will die. When the nucleus does not decay, the cat won't die. There, each of the nuclear states corresponds to each of the cat's states respectively.

原子核の2つの量子状態はユニタリに発展し、そしてそれらの状態が自発的に消えてしまう事はない。それゆえに、猫は2つの異なる状態を同時に持たなくてはならず、そしてそれらの状態もまたユニタリに発展しなくてはならない。

The nuclear two quantum states evolve unitary, and the states will never vanish spontaneously, therefore the cat has to have two different states simultaneously and the states have to evolve unitary, too.

$$\text{Nuclear states : } |\psi(t)\rangle = |\psi_{\text{notdecay}}(t)\rangle + |\psi_{\text{decay}}(t)\rangle, \quad (1.1)$$

$$\text{Cat's states : } |\phi(t)\rangle = |\phi_{\text{alive}}(t)\rangle + |\phi_{\text{dead}}(t)\rangle \quad (1.2)$$

この話は「私の人生において、生きている状態と死んでいる状態の重ね合わせになっている猫はいなかった。」という事と矛盾する。コペンハーゲン解釈では、猫の波動関数は誰かが猫を見た瞬間に崩壊し、猫の状態はただ一つに定まる。しかし、猫が箱の中にいる間には、猫は誰にも観測されず、猫の状態は観測によって崩壊する事はない。箱の中の猫は、2つの矛盾する状態を同時に取っているのだろうか？

This story conflicts with the fact that “there has been no cat whose state is superposition of living and dead ever in my life.” In Copenhagen interpretation, the cat's wave function collapses at the moment someone watches the cat, and the state of cat defines uniquely. But while the cat is in a box, he can't be observed by anyone and his states can't be collapsed by observations. Is the cat in the box in the two contradictorily different state at the same time?

もともとは、シュレーディンガーはこの話を、量子力学を私達の巨視的世界に適用する試みへの批判として考えたと言われるが、皮肉にもこの話が私達を量子力学から古典力学への理論へと導いてきている。

Originally, Schrödinger thought this story as a criticism for attempts to apply the quantum mechanics to our macroscopic world, but ironically this story has led us the theory of quantum to classical.

現在では、私達はデコヒーレンスを知っている。私達はこのパラドックスを異なる角度から見る事ができる。つまり、箱の中の猫の状態は私達の観測行為とは無関係に、室温による熱揺らぎなどの環境効果によって既に崩壊してしまっている。

Now, we know decoherence. We can understand this paradox another angle. That is, the states of cat in a box had been already collapsed by environmental effects such as thermal fluctuation by room temperature, regardless of our observations.

## 1.2. Many Worlds interpretation.

エヴェレットの多世界解釈は量子物理学にとって、コペンハーゲン解釈と同じ位に有名である。コペンハーゲン解釈では、私達は系の現実の状態を選ぶために測定行為を必要とする。言い換えると、私達は私達の古典的世界のために「波動関数の収縮」を必要とする。

Everret's many worlds interpretation is as famous as the Copenhagen interpretation for quantum physics. In the Copenhagen interpretation, we need measurements to select a real state of the system, in other words, we need a “Collapse of wave

function” for our classical world.

その一方で、エヴェレットの解釈では、私達がひとつの物体に興味があるとき、その物体のもつ状態ベクトルと同じ数だけ、私達の住む世界が存在すると仮定する。そして私達はただ一つの世界しか感じることができないが、そこでは力学は古典的であり、そして対象となる物体の状態はただ一つに決まっている。しかし他の世界との量子干渉が、物体を他の世界に移すことを可能にし、そして量子効果が再現される。それゆえにこの解釈では、私達は波動関数の収縮のメカニズムで悩む必要が無い。さらには、対象となる物体によって古典力学か量子力学かを人為的に選ぶ必要も無い。

While, in Everret’s interpretation, when we interested in an object, we assumed that there are our living worlds as many as the number of the object’s state vectors. And we can sense only one world, where the mechanics is classical and the object’s state is defined uniformly. But the quantum interference with the other worlds makes it possible to transfer of the object to the other worlds, then the quantum effects are reproduced. Therefore in this interpretation, we don’t need to concern about the mechanism for collapse of wave function. Moreover, we don’t need any artificial choice of mechanics from classical or quantum depending on the object.

しかしこの解釈は、私達が住んでいる世界とは異なった数多くの量子世界が存在しなくてはならない事を意味している。なぜ私達が他の世界へと移れないのか、という疑問に対しては、例えば「私達は莫大な数の粒子から構成されていて、そして私達の大きさは空間的に大きい。だから私達は他の量子世界に移れないんだ。」と答える事ができるかも知れない。それでも、いくつかの疑問が残る。「なぜ私達は他の量子世界からの情報を何一つ得ることができないのか。」「なぜ私達の意識はこの世界だけにしか存在しないのか。」そして「なぜ私の意識はこの世界の私の身体を選んだのか。」

But this interpretation means that there must be a lot of quantum worlds different from the world we are living in. For a question why we can’t transfer to the other worlds, we may answer for example “Because we are composed of a huge huge numbers of particles, and our sizes are spatially large. Therefore we can’t transfer to the other quantum worlds.” Still, some questions remain, “Why can’t we get any information from the other quantum worlds?”, “Why are our consciousnesses in this world only?” and “Why did my consciousness select my body in this world?”

今日では、私達は量子デコヒーレンス現象を知っている。それは量子状態間の干渉の破壊であり、一種の非ユニタリ過程として知られている。デコヒーレンスはコペンハーゲン解釈での「波動関数の収縮」に対応している。そして多世界解釈では、デコヒーレンスは量子宇宙間の干渉を断ち切る役割を演ずる。デコヒーレンスはどちらの解釈に対しても有効であり、どちらかの解釈を好むわけではない事を記しておく。

Today, we know the quantum decoherence phenomena, which is the destruction of interferences among quantum states, and known to be a kind of non-unitary processes. Decoherence corresponds to “the collapse of wave functions” in Copenhagen interpretation. And in many worlds interpretation, decoherence plays a role of the cutting of interferences among the quantum multiverses. Note that decoherence is valid for both interpretations and does not favor one interpretation of them over another.

しかし、多世界解釈には重大な問題が残っている。「私達の世界で最大のハミルトン系としての宇宙は、数多くの状態ベクトルを持たなくてはならないが、それらの状態ベクトル間の干渉を断ち切るための外的要素は何も存在しない。」という事である。

But, the serious problem in the many worlds interpretation remains, “The universe, as the largest Hamiltonian system in our world, must have so many state vectors, and there is no external elements which destroys the interference among state vectors of the universe.”

もし私達が宇宙に存在する全ての粒子を考える事が出来たなら、宇宙のもつ状態ベクトルは無数に存在しなければならないだろう。しかし、私達は私達の宇宙に存在する全ての微視的自由度に興味がある訳では「ない」事を思い出して欲しい。運の悪い事に、私達は私達の宇宙の全ての自由度を観測することは出来ないのも、それゆえに少数の巨視的自由度のみを取り扱っているかも知れない。

If we could concern about a Hilbert space for whole particles in the universe, there should be an infinite number of state vectors of the universe. But, remember that we are not interested in the whole microscopic degrees of freedom in our universe. Unfortunately, we are not able to observe the whole degrees of freedom in our universe, therefore we may treat only a small numbers of macroscopic degrees of freedom.

「巨視的」というのは空間的な大きさを意味しない。それは何らかの粗視化あるいは射影操作の存在を意味するだろう。巨視的自由度は非関与自由度についての何らかの縮約によって定義されるだろう。意識的にしろ、無意識にしろ、私達は星空を見上げる時、ほとんど多くの微視的自由度を無視しているかも知れない。

“Macroscopic” doesn’t mean spatial scale, it would mean there is some coarse graining or projection. The macroscopic degrees of freedom would be defined by some reduction of irrelevant microscopic degrees of freedom. Whether consciously or unconsciously, we may neglect most of the microscopic degrees of freedom when we look up at the starry starry sky!

私達が巨視的な宇宙のみに興味がある時、大事になる質問は「巨視的な量子宇宙の間の量子干渉を断ち切る要素は存在するのだろうか?」という事である。

When we interested in the macroscopic universe only, the important question is that, “Is there any factor to cut quantum interferences among the macroscopic quantum universes?”

Case1. There is no such factor.

巨視的な量子宇宙の間の干渉は存在しているが、その量子干渉による宇宙の変化はととても小さいかも知れない。それゆえに私達はそれに気づく事が出来ない。大きく異なる宇宙の状態の重ねあわせは存在しない。

There are interferences among the macroscopic quantum universes, but their changes by quantum interferences may be very small. Therefore we can’t be aware of them. There is no superposition among widely different states of universe.

Case2. Environmental effects.

ここで「環境」という言葉は、無視された微視的な非関与自由度を意味する。あなたが星に願うとき、私達の宇宙にある巨視的な(集団的な)自由度しか見ていない事に注意して下さい。

Here, the word “environment” means the irrelevant microscopic degrees of freedom neglected. Note that when you wish upon a star, you only care about the macroscopic (collective) degrees of freedom inside our universe.

Case3. Spontaneous Selection.

巨視的な自由度はどのような環境も必要とせず、自発的に古典的単一性を得ているかも知れない。

The macroscopic degrees of freedom may get classical unity spontaneously without any environments.

結局の所、上に記したような理由で、私達の巨視的な宇宙の波動関数はもう既に収縮していると考えるのが自然である。巨視的な量子並行世界は存在しないだろう。私達は今までに他の量子宇宙にワープした事がないのだから。

Eventually, it is natural that the wavefunction of our macroscopic universe has already collapsed for such reasons above. There wouldn't be any macroscopic quantum parallel worlds, because we have never been transported to any other quantum universes.

この論文では、Case2のような考え方が、3つの自由度を持った孤立量子系について調べられている。他の2つの調和振動子と結ばれている1つの調和振動子は古典性を得るだろう。そこでは、2つの振動子は粗視化されており、言い換えると、それらは環境として扱われている。メインとなる1つの調和振動子の量子力学的性質が、その環境効果によって壊されることが示される。

In this paper, an idea like Case2 is investigated for an isolated quantum system with 3 degrees of freedom. A harmonic oscillator coupled with other 2 harmonic oscillators would get classicality. There the latter 2 oscillators are coarse grained, in other words, they are treated as environments. It is showed that the environmental effect destroys the quantum mechanical property of the main 1 harmonic oscillator.

### 1.3. *Quantum Mine Sweeper and Decoherence at the nuclear fission.*

原子核の「原子核分裂が起こった」と「起こらなかった」の状態は、誰かがその核分裂生成物を観測するまで、本当にそれらの状態の重ね合わせを保つのだろうか。

Do the nuclear states “The nuclear fission has done.” and “It has not.” really keeps their superposition until anyone observes the fission products?

直接の観測なしに、私達は不安定原子核から離れた場所で、飛んでくる分裂生成物だけを観測する事ができる。例えば、私達は冥王星にいて、原子核は地球に置いておく。もし私達がいくつかの分裂生成物を観測したなら、そのときは私達は核分裂が起こったと知るだろう。そして原子核は「原子核分裂が起こった」という状態へと収縮するだろう。その一方で、もし私達がどのような分裂生成物も観測する事が出来なければ、状態は「分裂しなかった」へと収縮するだろう。この後者の例では、明らかに原子核と観測者は相互作用していない。この問題を私達はどのように理解するべきだろうか。

Without a direct observation, we can observe only the incoming fission products at far from an unstable nucleus, for example, we are on the planet Pluto and the nucleus is on the Earth. If we observe some fission products, then we will know that the fission has done, and the nuclear state reduces into “The fission has done.” On the other hand, if we can not observe any fission products, the state would also reduce into “It has not.” In the latter case, clearly there is no interaction between the observer and the nucleus... How should we understand this problem?

このような、物体と観測者の間の相互作用が無くても波動関数が収縮するという現象は、「爆弾検査実験」として知られているらしく、そこでは光子や電子が用いられている。

It is said that the phenomena like this, the collapse of the wave function without any interactions between the object and the observer, is known as the interaction-free measurement “Quantum Mine Sweeper”, where photons or electrons are used.

しかし私は、「かなり巨視的な」物体である原子核が巨視的な状態の重ね合わせを持つことも、その重ね合わせが相互作用無しの測定で消えてしまう事も信じたくはない。

But I don't want to think the nucleus which is “rather macroscopic” object has a superposition of macroscopic states nor the superposition vanishes with the interaction-free measurement. Will the macroscopic different state vectors keep their superposition until someone observes the residue of nuclear fission or fusion?

この問題が、この研究に対する私の動機付けだった。もしも状態ベクトルの線型結合が破れること、いわゆるデコヒーレンスが原子核分裂過程において起こっているならば、この問題は解決するだろう。核分裂現象に参与する自由度が、他の(参与しない)自由度からの揺動によって、古典性を獲得しているとは考えられないだろうか。この論文での私達の研究は、原子核のような有限系における量子デコヒーレンスをあなたに示すだろう。

This question was my motivation for this study. If the collapse of the linear combination of state vectors, so called the Quantum Decoherence, occurs in the nuclear fission process, this problem would be solved. Can we assume that the relevant degrees of freedom at the fission would get a classicality because of the fluctuation from the other (irrelevant) degrees of freedom? Our study in this paper will show you a quantum decoherence in a finite system like nucleus. ◇

## §2. About Decoherence.

量子デコヒーレンスは非ユニタリ過程の一種であり、それは量子干渉の消滅を意味している。その原因はエネルギー散逸、そしてランダムな揺動である。それらはランジュバン方程式の付加項と同じである。実際に、量子力学的なランジュバン方程式のそれらの項が、量子干渉を破壊する事が知られている。

The quantum decoherence is a kind of non-unitary processes, which means the disappearance of quantum interference. Its causes are dissipations and random fluctuations. They are the same as the additional terms of the Langevin equation. In fact, it is known that these terms of the quantum mechanical Langevin equation destroys quantum interferences.

昔は、ランジュバン方程式は正準的な方法で導出出来ない事が問題とされていた。不可逆なランジュバン方程式を可逆なニュートン方程式、あるいはハミルトン方程式から導出する事の失敗は、非ユニタリ過程である「波動関数の収縮」をユニタリなシュレーディンガー方程式で導出する事の失敗と同じである。

In old days, it was a problem that the Langevin equation could not be derived in canonical procedures. The failure to derive the time irreversible Langevin equation from the time reversible Newtonian or Hamiltonian equation is the same as the failure to derive non-unitary “The collapse of the wave function” from the unitary Schrödinger equations.

エネルギー散逸や、ランダムな揺動、そして観測行為が不可逆過程である事を思い出して欲しい。そうすると、不可逆性(時間反転性の破れ)とデコヒーレンス(ユニタリ性の破れ)には何か関係がある事が推測される。

Remember that energy dissipations, random fluctuations and observations are irreversible processes. Then, it is assumed that there is any relationship between the irreversibility (the break down of the time reversal symmetry), and the quantum decoherence (the break down of unitarity).

波動関数は  $\hat{U}$  によって次のように発展する。

A wave function evolves by  $\hat{U}$  as follows.

$$\psi(t) = \hat{U}\psi(0) \quad (2-1)$$

普通は、私達は演算子  $\hat{U}$  をユニタリ演算子だと仮定する。しかし、ここではあえてユニタリで無い場合も許すことにする。

Ordinary, we assume the operator  $\hat{U}$  as a unitary operator. But, here we dare to allow the case  $\hat{U}$  is not unitary.

その一方で、時間反転した世界、例えば時間が  $(t \rightarrow 0)$  での発展演算子  $\bar{U}$  を考えてみよう。例えば、

While, please imagine the evolution operator  $\bar{U}$  for time reversal world, such as time  $(t \rightarrow 0)$ . For example,

$$\bar{\psi}(0) = \bar{U}\psi(t) \quad (2-2)$$

ここで、状態  $\bar{\psi}(0)$  は元の状態  $\psi(0)$  と同じである必要は無い。つまり、



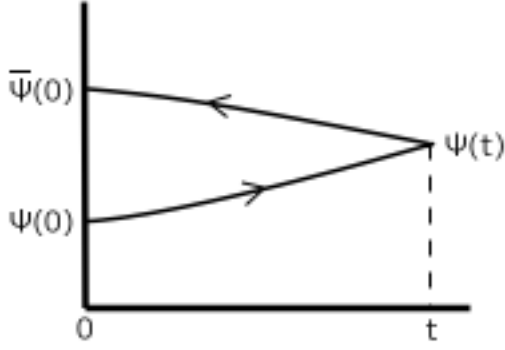


Fig. 1. Simple picture for irreversibility.

Here, the state  $\bar{\psi}(0)$  is not need to be the same as the original state  $\psi(0)$ , that is,

$$\bar{\psi}(0) = \bar{U}\hat{U}\psi(0) \quad (2.3)$$

系のハミルトニアンが  $\hat{H}$  であり、そして時間反転世界でのそれが  $\bar{H}$  であるとき、それぞれに対する発展演算子は

When the Hamiltonian of system is  $\hat{H}$ , and that of the time reversal world is  $\bar{H}$ , evolution operators for each are

$$\hat{U} = \exp\left\{-\frac{i}{\hbar}\hat{H}t\right\}, \quad \bar{U} = \exp\left\{+\frac{i}{\hbar}\bar{H}t\right\} \quad (2.4)$$

そして、Baker-Campbell-Hausdorff の式を用いると、

Then, using the Baker-Campbell-Hausdorff formula,

$$\bar{U}\hat{U} = \exp\left\{-\frac{i}{\hbar}(\hat{H} - \bar{H})t + \frac{1}{2\hbar^2}[\bar{H}, \hat{H}]t^2 + O(t^3) + \dots\right\} \quad (2.5)$$

それゆえに、 $(\bar{U}\hat{U} = 1)$  である事、または可逆系であるための十分条件は  $(\hat{H} = \bar{H})$  である事となる。

Therefore, the sufficient condition for being  $(\bar{U}\hat{U} = 1)$  or reversible system is being  $(\hat{H} = \bar{H})$ .

その一方で、式 (2.1) と式 (2.4) の複素共役、

While, the complex conjugate of eq.(2.1) and eq.(2.4)

$$\psi^*(t) = \hat{U}^\dagger \psi^*(0), \quad \hat{U}^\dagger = \exp\left\{+\frac{i}{\hbar}\hat{H}^\dagger t\right\} \quad (2.6)$$

その時、

Then

$$\hat{U}^\dagger \hat{U} = \exp\left\{-\frac{i}{\hbar}(\hat{H} - \hat{H}^\dagger)t + \frac{1}{2\hbar^2}[\hat{H}^\dagger, \hat{H}]t^2 + O(t^3) + \dots\right\} \quad (2.7)$$

それゆえに、 $(\hat{U}^\dagger \hat{U} = 1)$  またはユニタリであるための十分条件は、ハミルトニア  
ンがエルミート ( $\hat{H}^\dagger = \hat{H}$ ) である事である。

Therefore the sufficient condition for  $(\hat{U}^\dagger \hat{U} = 1)$  or unitary, is that the Hamilto  
nian is Hermitian, ( $\hat{H}^\dagger = \hat{H}$ ).

今、私達は不可逆性 (時間反転対称性の破れ) とユニタリ性の消滅 (デコヒーレン  
ス) の関係を知りたいと思っている。上記の2つの議論を表に示してみよう。

Now we want to know the relationships between the irreversibility (the break  
down of time reversal symmetry) and the disappearance of unitarity (the quantum  
decoherence). Let us show the list of two discussions above.

$$\left. \begin{array}{l} \bar{H} = \hat{H} \text{ (time reversal symmetry)} \\ \hat{H}^\dagger = \hat{H} \text{ (Hermitian)} \end{array} \right\} \Rightarrow \bar{U} = \hat{U}^\dagger \quad \left. \begin{array}{l} \bar{U}\hat{U} = 1 \text{ (reversibility)} \\ \hat{U}^\dagger\hat{U} = 1 \text{ (unitarity)} \end{array} \right\} \Rightarrow \bar{U} = \hat{U}^\dagger \quad (2.8)$$

この表から見れば、可逆性とユニタリ性には関係が無い様に思える。

It seems that there is no relation between the reversibility and the unitarity from  
this list.

式 (2.8) の下の命題は、次の様に書き換えられる。

The lower proposition of eq.(2.8) is rewritten as follows.

$$\{\hat{U}^\dagger \hat{U} = 1\} \supset \{\hat{H}^\dagger = \hat{H}\} \quad (2.9)$$

ここで、 $\{\dots\}$  はベン図でのそれぞれの事象の表す領域を意味する。ドモルガンの  
法則を用いて、私達は次を得る。

Here,  $\{\dots\}$  means the region of each event in Venn diagram. Using the De  
Morgan's low, we get

$$\{\hat{U}^\dagger \hat{U} \neq 1\} \subset \{\hat{H}^\dagger \neq \hat{H}\} \quad (2.10)$$

多くの理論的そして実験的研究は、時間反転対称性が破れるような系においてユ  
ニタリ性が失われる事を示唆している。

Many theoretical and experimantal studies imply that unitarity is lost in systems  
in which the time reversal symmetry breaks down.

$$\hat{U}^\dagger \hat{U} \neq 1 \Rightarrow \bar{H} \neq \hat{H} \quad (2.11)$$

すなわち

that is

$$\{\hat{U}^\dagger \hat{U} \neq 1\} \subset \{\bar{H} \neq \hat{H}\} \quad (2.12)$$

(この包含関係は散逸系におけるユニタリ性の可能性を考えている。) この関係は  
上記の議論からは導けない。

(This inclusion relation is concerned about possibility of unitary dissipation sys  
tems.) This relation can't be derived from discussions above.

しかし、もし私達がエルミート共役の意味を時間反転共役として受け入れるなら  
ば、この難しさは避けられる。

But, If we accept a meaning for Hermitian conjugate as the time reversal conjugate, this difficulty is avoided.

$$\hat{H}^\dagger \equiv \bar{H}, \quad \hat{U}^\dagger \equiv \bar{U} \quad (2.13)$$

おそらく、私が読んだことがあるいくつかの本で、複素共役と時間反転共役の関係が示唆されていた。例えば、

Probably, the relation between complex conjugate and time reversal conjugate has been implied at some textbooks which I have ever read. For example,

$$\psi(t') = \exp \left\{ -\frac{i}{\hbar} \hat{H}(t' - t) \right\} \psi(t) \quad (2.14)$$

この複素共役は、

Its complex conjugate is

$$\psi^*(t') = \exp \left\{ +\frac{i}{\hbar} \hat{H}^\dagger(t' - t) \right\} \psi^*(t) \quad (2.15)$$

その一方で、その時間反転 ( $t' - t \rightarrow t - t'$ ) したものは、

While, the time reversal ( $t' - t \rightarrow t - t'$ ) one is

$$\bar{\psi}(t') = \exp \left\{ +\frac{i}{\hbar} \bar{H}(t' - t) \right\} \bar{\psi}(t) \quad (2.16)$$

$\hat{H}$  がエルミートで時間反転対称の場合、式 (2.15) と式 (2.16) はよく似ているため、それゆえにそれらは同一であるかも知れない。

When  $\hat{H}$  is Hermitian and time reversal symmetric, eq.(2.15) and eq.(2.16) are very alike, therefore they may be identical each other.

$$\psi^*(t') = \bar{\psi}(t'), \psi^*(t) = \bar{\psi}(t) \quad (2.17)$$

すなわち、波動関数の複素共役はその時間反転共役を意味するだろう。私達が式 (2.13) を受け入れた時、私達は不可逆系に対する波動関数を定義出来るかも知れない。

That is, the complex conjugate of wave functions would mean its time reversal conjugate. When we can accept eq.(2.13), we may define the wave functions for irreversible systems.

私達が式 (2.13) の関係を受け入れた時、経験的な式 (2.11) は簡単に導出される。

When we accept the relation eq.(2.13), the empirical formula eq.(2.11) is easily derived.

$$\hat{U}^\dagger \hat{U} = \exp \left\{ +\frac{i}{\hbar} \hat{H}^\dagger t \right\} \exp \left\{ -\frac{i}{\hbar} \hat{H} t \right\} = \exp \left\{ +\frac{i}{\hbar} \bar{H} t \right\} \exp \left\{ -\frac{i}{\hbar} \hat{H} t \right\} \quad (2.18)$$

そして

Then,

$$\bar{H} = \hat{H} \quad \Rightarrow \quad \hat{U}^\dagger \hat{U} = 1 \quad (2.19)$$

これは系のユニタリ性の為の十分条件が、ハミルトニアンの時間反転対称性である事を意味する。対偶を取ると、私達は次を得る。

This means that the sufficient condition for unitarity of system is the time reversal symmetry of Hamiltonian. Taking the contraposition, we get

$$\hat{U}^\dagger \hat{U} \neq 1 \quad \Rightarrow \quad \bar{H} \neq \hat{H} \quad (2.20)$$

この事はデコヒーレンスに対する必要条件はハミルトニアンの時間反転対称性の破れである事を意味する。

, which means that the necessary condition for quantum decoherence is the breaking down of time reversal symmetry of Hamiltonian.

古典系においては、不可逆性は粗視化によって現れるという事が知られている。平均化の手法は系の微視的な情報を壊す。エルゴード性もまた粗視化によって現れると言われている。

In classical system, it is known that irreversibility appears by coarse graining. Averaging procedures destroy microscopic informations for system. It is said that Ergodicity also appears by coarse graining.

粗視化は系を不可逆にし、そしてその不可逆性は系を非ユニタリにさせる。それゆえにその粗視化が非ユニタリ性を作ったに違いない。粗視化は低解像度の世界への一種の射影操作であるから、私達は射影操作が系を不可逆にしたと假定できるだろう。ランジュバン方程式もまた射影の方法によって引き出される事が知られている。

Coarse graining makes the system irreversible, and the irreversibility makes the system non-unitary, therefore the coarse graining must make the non-unitarity. Coarse graining is a kind of Projection procedure into a low resolution world, so we can assume that Projection makes the system irreversible. It is known that the Langevin equation is also derived by the projection method.

射影操作は任意の部分系を元々の系から引き出す手法である。その部分系が、元々の系の中の無視された(積分された)他の自由度と結び付いている時、その結合の効果は、部分系に対する「環境効果」とみなされるだろう。

Projection is a procedure to extract arbitrary sub system from a original system. When the sub system couples with the other neglected (integrated) degrees of freedom in the original system, the coupling effects would be regarded as “the environmental effects” for the sub system. ◇

### §3. A simple model: Asymmetric triangular harmonic oscillators in Schrödinger cat states, “Three Schrödinger cats”.

ここでは、私達は有限系における量子デコヒーレンスの可能性について議論するために、単純な模型を用いるだろう。それは異なる振動数を持つ3つのバネでお互いに結ばれた、3つのボソンの粒子である。この模型に対し、私達は Caldeira & Leggett の方法を適用する。私達の3粒子模型は彼らの「調和振動子+熱浴」模型の極端な縮小である。<sup>1)</sup>

Here, We will use a simple model to discuss a possibility of quantum decoherence in a finite system. That is three bosonic particles tied up each other with three springs which have different frequencies. For this model, we will apply the Caldeira & Leggett’s technique. Our three particle model is a extreme reduction of their “harmonic oscillator plus reservoir” model<sup>1)</sup>.

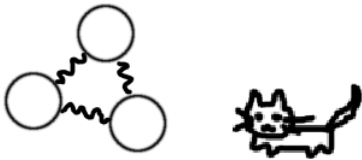


Fig. 2. 3cats model. 3 particles are tied up with springs. And each state is Schrödinger cat.

主な方針は、異なるバネで結ばれた1次元の3つの粒子を、基準座標系での2つの結ばれていない調和振動子と1つの自由粒子に変換する。そして私達はその基準座標系における全系の波動関数に対するプロパゲーターを導出、そしてそれを元の座標系へと再変換する。そのようにして私達は、調和的に束縛された3つの粒子に対するプロパゲーターを得る事ができるだろう。次に、私達はおのおのの粒子に対する初期波動関数をガウス型波束の対(シュレーディンガー猫状態)で準備する。全系の初期状態はそれらの状態の積である。それはプロパゲーターによって3つの粒子のもつれ状態へと変化し始める。

The main line is, to transform 1-dimensional three particles tied with different springs into two uncoupled harmonic oscillators and one free particle in normal coordinates. And we will derive a propagator for a total wave function of the total system in normal coordinates, and retranslate it into the original system. Then we will be able to get a propagator for harmonically bound three particle. Next, we will prepare the respective initial wave function for each particle as a pair of Gaussian wave packet (the Schrödinger cat state). The initial state of the total system is a product of those states. It will start to turn into a entangle state of three particles by propagator.

閉鎖系においては、その波動関数間の干渉が消えると考え事は難しい。しかし私達は粒子1にのみ注意を払い、他の2粒子の自由度については積分してしまう、すると私達は粒子1に対する縮約密度関数を得るだろう。この手法は他の2粒子についての詳細な情報を無視し、平均を取る事に対応している。そして、私達は粒子1のガウス波束の対とその間の量子干渉項を観察するだろう。

In a closed system, it is difficult to suppose that the interference between the

wave functions of the closed system will vanish. But we will pay attention to the particle-1 only and integrate out the degrees of freedom about other two particles, then we will get a reduced density function for particle-1. This procedure corresponds to ignoring the fine informations about other two particles and taking an average. Then, we will observe changes of a pair of Gaussian wave packets of particle-1 and the quantum interference term between them.

### 3.1. Classical model.

古典的には、この模型(非対称な調和三体問題)は可解、すなわち可積分系である。そのラグランジアンは次のようになる。

Classically, this model (the asymmetric harmonic three body problem) is solvable, that is a integrable system. Its Lagrangean is as follows.

$$L = \frac{m}{2}\dot{x}_1^2 + \frac{m}{2}\dot{x}_2^2 + \frac{m}{2}\dot{x}_3^2 - \frac{m}{2}\omega_{12}^2(x_1 - x_2)^2 - \frac{m}{2}\omega_{13}^2(x_1 - x_3)^2 - \frac{m}{2}\omega_{23}^2(x_2 - x_3)^2 \quad (3-1)$$

#### オイラー・ラグランジュ方程式

Applying the Euler-Lagrange equation

$$\frac{\partial L}{\partial x_i} - \frac{d}{dt} \frac{\partial L}{\partial \dot{x}_i} = 0 \quad (3-2)$$

を式(3-1)に適用すると、私達は3つの運動方程式を得る。

to eq.(3-1), we can get three equations of motion.

$$\frac{d^2}{dt^2} \begin{pmatrix} x_1 \\ x_2 \\ x_3 \end{pmatrix} = \begin{pmatrix} -(\omega_{12}^2 + \omega_{13}^2) & \omega_{12}^2 & \omega_{13}^2 \\ \omega_{12}^2 & -(\omega_{12}^2 + \omega_{23}^2) & \omega_{23}^2 \\ \omega_{13}^2 & \omega_{23}^2 & -(\omega_{13}^2 + \omega_{23}^2) \end{pmatrix} \begin{pmatrix} x_1 \\ x_2 \\ x_3 \end{pmatrix} \quad (3-3)$$

これを書き換えて、

Rewriting this,

$$\frac{d^2}{dt^2} \mathbf{X}(t) = \mathbf{W} \mathbf{X}(t) \quad (3-4)$$

そして時間に依存しない行列  $\mathbf{P}$  を用いると、

and using a time-independent matrix  $\mathbf{P}$ , then,

$$\frac{d^2}{dt^2} (\mathbf{P} \mathbf{X}(t)) = \mathbf{P} \mathbf{W} \mathbf{P}^{-1} (\mathbf{P} \mathbf{X}(t)) \quad (3-5)$$

ここで、私達は  $\mathbf{P} \mathbf{W} \mathbf{P}^{-1}$  が対角行列になるように選ぶ事が出来て、そして3本の連立していない微分方程式を得る。私達はこれを示す。 $\mathbf{W}$  の固有値、 $\lambda$  は次の方程式を満たす。

Here, we can set  $\mathbf{P}$  in order that  $\mathbf{P} \mathbf{W} \mathbf{P}^{-1}$  is diagonal, and get three uncoupled differential equations. We will show this procedure. Eigen values of  $\mathbf{W}$ ,  $\lambda$  satisfy the equation

$$-\{ \lambda^3 + 2(\omega_{12}^2 + \omega_{13}^2 + \omega_{23}^2)\lambda^2 + 3(\omega_{12}^2\omega_{13}^2 + \omega_{13}^2\omega_{23}^2 + \omega_{12}^2\omega_{23}^2)\lambda \} \equiv 0 \quad (3-6)$$

私達はその3つの解を  $\lambda_1, \lambda_2, \lambda_3$  とする。そして明らかに0が1つの解であり、それを  $\lambda_3$  とする。そして次を定義する。

We call its 3 solutions  $\lambda_1, \lambda_2, \lambda_3$ , and obviously 0 is one solution, then we set it  $\lambda_3$ . And we define

$$PWP^{-1} = \begin{pmatrix} \lambda_1 & & \\ & \lambda_2 & \\ & & \lambda_3 \end{pmatrix} = \begin{pmatrix} \lambda_1 & 0 & 0 \\ 0 & \lambda_2 & 0 \\ 0 & 0 & 0 \end{pmatrix} \equiv \mathbf{A} \quad (3.7)$$

$$PX_{(t)} \equiv Z_{(t)} \quad (3.8)$$

すると、式(3.5)は次の様になる。

Then, equation (3.5) comes to

$$\frac{d^2}{dt^2} Z_{(t)} = \mathbf{A}Z_{(t)} \quad (3.9)$$

すなわち、次のような3本の独立な微分方程式を得る事ができる。

, that is, we can get three independent differential equations as follows.

$$\frac{d^2}{dt^2} \begin{pmatrix} z_1 \\ z_2 \\ z_3 \end{pmatrix} = \begin{pmatrix} \lambda_1 & & \\ & \lambda_2 & \\ & & 0 \end{pmatrix} \begin{pmatrix} z_1 \\ z_2 \\ z_3 \end{pmatrix} = \begin{pmatrix} \lambda_1 z_1 \\ \lambda_2 z_2 \\ 0 \end{pmatrix} \quad (3.10)$$

ここで私達は次を定義する。

Here we define

$$\begin{aligned} \Delta\omega^2 &\equiv \sqrt{\omega_{12}^4 - \omega_{12}^2\omega_{13}^2 + \omega_{13}^4 - \omega_{13}^2\omega_{23}^2 + \omega_{23}^4 - \omega_{23}^2\omega_{12}^2} \\ &= \sqrt{\frac{1}{2} \{(\omega_{12}^2 - \omega_{13}^2)^2 + (\omega_{13}^2 - \omega_{23}^2)^2 + (\omega_{23}^2 - \omega_{12}^2)^2\}} \\ &= \sqrt{(\omega_{12}^2 + \omega_{13}^2 + \omega_{23}^2)^2 - 3\omega_{12}^2\omega_{13}^2 - 3\omega_{13}^2\omega_{23}^2 - 3\omega_{23}^2\omega_{12}^2} \end{aligned} \quad (3.11)$$

そして式(3.6)より、 $\lambda_1, \lambda_2$  は次の様になる。

and from equation (3.6),  $\lambda_1, \lambda_2$  are

$$\begin{cases} \lambda_1 = -\omega_{12}^2 - \omega_{13}^2 - \omega_{23}^2 + \Delta\omega^2 < 0 \\ \lambda_2 = -\omega_{12}^2 - \omega_{13}^2 - \omega_{23}^2 - \Delta\omega^2 < 0 \end{cases} \quad (3.12)$$

それらの符号に気を付けると、私達は式(3.10)を解くことが出来て、次を得る。

Taking care of their signs, we can solve the equation (3.10) then we get

$$\begin{aligned} z_1(t) &= A_1 \sin \Omega_1 t + B_1 \cos \Omega_1 t \\ z_2(t) &= A_2 \sin \Omega_2 t + B_2 \cos \Omega_2 t \\ z_3(t) &= C_1 t + C_2 \end{aligned} \quad (3.13)$$

ここで、

, where

$$\Omega_1 \equiv \sqrt{-\lambda_1}, \quad \Omega_2 \equiv \sqrt{-\lambda_2} \quad (3.14)$$

そして  $A_1, A_2, B_1, B_2, C_1, C_2$  は積分定数である。それらは  $\mathbf{X}$  や  $\dot{\mathbf{X}}$  の初期条件に依存する。古典軌道  $\mathbf{X}(t)$  は次の様になる。

and  $A_1, A_2, B_1, B_2, C_1, C_2$  are integral constants. They depend on the initial condition of  $\mathbf{X}$  and  $\dot{\mathbf{X}}$ . The classical orbit  $\mathbf{X}(t)$  is

$$\mathbf{X}(t) = \mathbf{P}^{-1} \mathbf{Z}(t) \quad (3.15)$$

私達は固有値  $\lambda_1, \lambda_2, 0$  に対応した、 $\mathbf{W}$  の固有ベクトル  $\mathbf{p}_1, \mathbf{p}_2, \mathbf{p}_3$  を次のように定義する。

We define  $\mathbf{W}$ 's eigen vector  $\mathbf{p}_1, \mathbf{p}_2, \mathbf{p}_3$  corresponding to its eigen value  $\lambda_1, \lambda_2, 0$  as follows.

$$\mathbf{P}^{-1} = (\mathbf{p}_1 \ \mathbf{p}_2 \ \mathbf{p}_3) = \begin{pmatrix} \xi_1 & \xi_2 & 1 \\ \eta_1 & \eta_2 & 1 \\ \zeta_1 & \zeta_2 & 1 \end{pmatrix} = \begin{pmatrix} \xi_1 & \xi_2 & 1 \\ \eta_1 & \eta_2 & 1 \\ -\xi_1 - \eta_1 & -\xi_2 - \eta_2 & 1 \end{pmatrix} \quad (3.16)$$

ここで私達は次を定義した。

Here we defined

$$\begin{aligned} \xi_1 &= \omega_{12}^2 \omega_{23}^2 - \omega_{13}^2 (\omega_{13}^2 - \Delta \omega^2) & \xi_2 &= \omega_{12}^2 \omega_{23}^2 - \omega_{13}^2 (\omega_{13}^2 + \Delta \omega^2) \\ \eta_1 &= \omega_{12}^2 \omega_{13}^2 - \omega_{23}^2 (\omega_{23}^2 - \Delta \omega^2) & \eta_2 &= \omega_{12}^2 \omega_{13}^2 - \omega_{23}^2 (\omega_{23}^2 + \Delta \omega^2) \\ \zeta_1 &= -\xi_1 - \eta_1 & \zeta_2 &= -\xi_2 - \eta_2 \end{aligned} \quad (3.17)$$

上記の式を用いて、私達は最終的に  $\mathbf{X}(t)$  の古典解を得る。

Using formulae above, we can get the classical solution of  $\mathbf{X}(t)$  finally.

$$\mathbf{X}(t) = \begin{pmatrix} x_1(t) \\ x_2(t) \\ x_3(t) \end{pmatrix} = \begin{pmatrix} \xi_1 z_1(t) + \xi_2 z_2(t) + z_3(t) \\ \eta_1 z_1(t) + \eta_2 z_2(t) + z_3(t) \\ -(\xi_1 + \eta_1) z_1(t) - (\xi_2 + \eta_2) z_2(t) + z_3(t) \end{pmatrix} \quad (3.18)$$

そして

Using

$$\Delta \equiv \eta_2 \xi_1 - \eta_1 \xi_2 \quad (3.19)$$

を用いて、 $\mathbf{P}$  は次の様に書ける。

, you can write  $\mathbf{P}$

$$\mathbf{P} = \frac{1}{3\Delta} \begin{pmatrix} 2\eta_2 + \xi_2 & -\eta_2 - 2\xi_2 & -\eta_2 + \xi_2 \\ -2\eta_1 - \xi_1 & \eta_1 + 2\xi_1 & \eta_1 - \xi_1 \\ \Delta & \Delta & \Delta \end{pmatrix} \quad (3.20)$$

次の関係より、



From the relation

$$\mathbf{Z}(t) = \mathbf{P}\mathbf{X}(t) \quad (3.21)$$

私達は基準座標系  $\mathbf{Z}(t)$  への変換式を得る。

, we can get the formula for transformation to the normal coordinate  $\mathbf{Z}(t)$ .

$$\mathbf{Z}(t) = \begin{pmatrix} z_1(t) \\ z_2(t) \\ z_3(t) \end{pmatrix} = \frac{1}{3\Delta} \begin{pmatrix} (2\eta_2 + \xi_2)x_1(t) + (-\eta_2 - 2\xi_2)x_2(t) + (-\eta_2 + \xi_2)x_3(t) \\ (-2\eta_1 - \xi_1)x_1(t) + (\eta_1 + 2\xi_1)x_2(t) + (\eta_1 - \xi_1)x_3(t) \\ \Delta x_1(t) + \Delta x_2(t) + \Delta x_3(t) \end{pmatrix} \quad (3.22)$$

これらの式は、後の経路積分の計算にとっても有用である。

These formulae are very useful for evaluation of path integrals later.

### 3.2. Derivation of a propagator

この節では、私達はこの3体模型に対するファインマンプロパゲーターを導出する。それは微分演算子を用いずに波動関数の時間発展を記述する。元々の座標系  $\mathbf{X}$  でのプロパゲーターを導出する事は難しいため、私達は元々の系でのラグランジアンを基準座標系  $\mathbf{Z}$  でのラグランジアンに変換する。基準座標系では、2つの独立な調和振動子と1つの自由粒子が存在する。その変換式は式(3.18)と式(3.22)に与えられている。それらを元々のラグランジアンの式(3.1)に代入すると、私達は次を得る。

In this section, we derive the Feynman propagator for this 3 body model. It describes evolution of wave functions without differential operators. It is difficult to derive the propagator in the original coordinates  $\mathbf{X}$ , therefore we transform the Lagrangean in the original coordinates into the Lagrangean in the normal coordinates  $\mathbf{Z}$ , where there are two uncoupled harmonic oscillators and a free particle. Its transformation formulae are given in eq.(3.18) and eq.(3.22). We substitute them for the original Lagrangean eq.(3.1), then we get

$$L = \frac{m_1}{2} \dot{z}_1(t)^2 + \frac{m_2}{2} \dot{z}_2(t)^2 + \frac{m_3}{2} \dot{z}_3(t)^2 - \frac{m_1}{2} \omega_1^2 z_1(t)^2 - \frac{m_2}{2} \omega_2^2 z_2(t)^2 \quad (3.23)$$

ここで、

where

$$m_1 \equiv 2m(\xi_1^2 + \xi_1\eta_1 + \eta_1^2), \quad m_2 \equiv 2m(\xi_2^2 + \xi_2\eta_2 + \eta_2^2), \quad m_3 \equiv 3m \quad (3.24)$$

$$\left\{ \begin{array}{l} \omega_1^2 \equiv \frac{m}{m_1} \{ w_1^2(2\xi_1^2 - \xi_1\eta_1 - \eta_1^2) + w_2^2(-\xi_1^2 - \xi_1\eta_1 + 2\eta_1^2) + w_3^2(2\xi_1^2 + 5\xi_1\eta_1 + 2\eta_1^2) \} \\ \omega_2^2 \equiv \frac{m}{m_2} \{ w_1^2(2\xi_2^2 - \xi_2\eta_2 - \eta_2^2) + w_2^2(-\xi_2^2 - \xi_2\eta_2 + 2\eta_2^2) + w_3^2(2\xi_2^2 + 5\xi_2\eta_2 + 2\eta_2^2) \} \\ (w_1^2 = \omega_{12}^2 + \omega_{13}^2, \quad w_2^2 = \omega_{12}^2 + \omega_{23}^2, \quad w_3^2 = \omega_{13}^2 + \omega_{23}^2) \end{array} \right\} \quad (3.25)$$

である。私達はそれぞれの変数ごとにラグランジアンを分離できて、

, we can decouple the Lagrangean with each variable.

$$\begin{aligned} L_1(z_1(t), t) &\equiv \frac{m_1}{2} \dot{z}_1(t)^2 - \frac{m_1}{2} \omega_1^2 z_1(t)^2, & L_2(z_2(t), t) &\equiv \frac{m_2}{2} \dot{z}_2(t)^2 - \frac{m_2}{2} \omega_2^2 z_2(t)^2, \\ L_3(z_3(t), t) &\equiv \frac{m_3}{2} \dot{z}_3(t)^2 & : L &= L_1 + L_2 + L_3 \end{aligned} \quad (3.26)$$

これらのラグランジアンに対して、私達は初期時刻  $t_0$  から任意の時刻  $t$  までの古典的作用積分を得ることができる。

For these Lagrangeans, we can get the classical action integrals summed up from an initial time  $t_0$  to an arbitrary time  $t$ .

$$\begin{aligned} S^{(cl)}(\mathbf{Z}(t), t : \mathbf{Z}(t_0), t_0) &= \int_{t_0}^t L_{1(\tau)} d\tau + \int_{t_0}^t L_{2(\tau)} d\tau + \int_{t_0}^t L_{3(\tau)} d\tau \\ &\equiv S_1^{(cl)}(z_{1(t)}, t : z_{1(t_0)}, t_0) + S_2^{(cl)}(z_{2(t)}, t : z_{2(t_0)}, t_0) + S_3^{(cl)}(z_{3(t)}, t : z_{3(t_0)}, t_0) \end{aligned} \quad (3-27)$$

ここで、

where

$$S_1^{(cl)} = \frac{m_1 \omega_1}{2 \sin \omega_1 (t - t_0)} \left\{ \cos \omega_1 (t - t_0) (z_{1(t)}^2 + z_{1(t_0)}^2) - 2z_{1(t)} z_{1(t_0)} \right\} \quad (3-28)$$

$$S_2^{(cl)} = \frac{m_2 \omega_2}{2 \sin \omega_2 (t - t_0)} \left\{ \cos \omega_2 (t - t_0) (z_{2(t)}^2 + z_{2(t_0)}^2) - 2z_{2(t)} z_{2(t_0)} \right\} \quad (3-29)$$

$$S_3^{(cl)} = \frac{m_3 (z_{3(t)} - z_{3(t_0)})^2}{2(t - t_0)} \quad (3-30)$$

そしてこれらの式を用いて、私達は  $\mathbf{Z}$  系での波動関数に対するプロパゲーターを得る。

and using these formulae, we get the propagator for wave function in the system  $\mathbf{Z}$ .

$$U(\mathbf{Z}, t : \mathbf{Z}_0, t_0) = \int_{\mathbf{Z}(t_0)=\mathbf{Z}_0}^{\mathbf{Z}(t)=\mathbf{Z}} D\mathbf{Z}(\tau) \exp \left\{ \frac{i}{\hbar} S(\mathbf{Z}, t : \mathbf{Z}(\tau), \tau : \mathbf{Z}_0, t_0) \right\} \quad (3-31)$$

$$\propto \exp \left\{ \frac{i}{\hbar} S^{(cl)}(\mathbf{Z}, t : \mathbf{Z}_0, t_0) \right\} \quad (3-32)$$

ここで、 $D\mathbf{Z} \equiv Dz_1 Dz_2 Dz_3$  は  $\mathbf{Z}$  系での 3 変数  $(z_1, z_2, z_3)$  についての経路積分を意味する。作用積分  $S(\mathbf{Z}, t : \mathbf{Z}(\tau), \tau : \mathbf{Z}_0, t_0)$  はその積分経路に依存し、そして必ずしも最小作用原理に従わない。しかし自由粒子や調和振動子の場合には、経路積分の結果はその被積分関数の鞍点値に比例する事が知られており、それゆえに私達は式 (3-32) を得る。その比例係数は初期時刻  $t_0$  と終時刻  $t$  に依存するが、ここでは省略する。

Here  $D\mathbf{Z} \equiv Dz_1 Dz_2 Dz_3$  means path integrals about three variables  $(z_1, z_2, z_3)$  in system  $\mathbf{Z}$ . The action integral  $S(\mathbf{Z}, t : \mathbf{Z}(\tau), \tau : \mathbf{Z}_0, t_0)$  depends on its integral paths and does not always follow the principle of minimum action. But it is known that the result of path integrals is in proportion to the value of saddle point of their integrands for free particles and for harmonic oscillators, therefore we get equation (3-32). Its proportional factor depends on the initial time  $t_0$  and the final time  $t$ , but here we omit the factor.

今、私達は  $\mathbf{Z}$  系でのプロパゲーターと  $\mathbf{X}$  系でのそれが等価であると仮定し、そして式 (3-18) を用いて変換する。すると、

Now we assume that the propagator in  $\mathbf{Z}$  is equivalent to the one in original system  $\mathbf{X}$ , and transform it using equation (3-18). Then we get

$$\begin{aligned} U(\mathbf{X}, t : \mathbf{X}_0, t_0) &= U(\mathbf{Z}, t : \mathbf{Z}_0, t_0) \\ &\propto \exp \left[ \frac{i}{\hbar} \left\{ A_1 x_{1(0)}^2 + A_2 x_{2(0)}^2 + A_3 x_{3(0)}^2 + B_{12} x_{1(0)} x_{2(0)} \right. \right. \\ &\quad \left. \left. + B_{23} x_{2(0)} x_{3(0)} + B_{13} x_{1(0)} x_{3(0)} + C_1 x_{1(0)} + C_2 x_{2(0)} + C_3 x_{3(0)} + D \right\} \right] \end{aligned} \quad (3-33)$$

ここで、変換行列  $\mathbf{P}$  の成分

Here using elements of the transformation matrix  $\mathbf{P}$

$$\begin{aligned} a_1 &= \frac{1}{3\Delta}(2\eta_2 + \xi_2) & a_2 &= \frac{1}{3\Delta}(-\eta_2 - 2\xi_2) & a_3 &= \frac{1}{3\Delta}(-\eta_2 + \xi_2) \\ b_1 &= \frac{1}{3\Delta}(-2\eta_1 - \xi_1) & b_2 &= \frac{1}{3\Delta}(\eta_1 + 2\xi_1) & b_3 &= \frac{1}{3\Delta}(\eta_1 - \xi_1) \\ c_1 &= \frac{1}{3} & c_2 &= \frac{1}{3} & c_3 &= \frac{1}{3} \end{aligned} \quad (3-34)$$

( $\Delta = \eta_2 \xi_1 - \eta_1 \xi_2$ ) を用いて、式 (3-33) 内の実数係数  $A_1 - D$  が次の様に得られる。

( $\Delta = \eta_2 \xi_1 - \eta_1 \xi_2$ ), we get the real coefficients in (3-33)  $A_1 - D$  as follows.

$$A_i = \frac{m_1 \omega_1}{2} \cot[\omega_1(t - t_0)] a_i^2 + \frac{m_2 \omega_2}{2} \cot[\omega_2(t - t_0)] b_i^2 + \frac{m_3}{2(t - t_0)} c_i^2 \quad (3-35)$$

$$B_{ij} = m_1 \omega_1 \cot[\omega_1(t - t_0)] a_i a_j + m_2 \omega_2 \cot[\omega_2(t - t_0)] b_i b_j + \frac{m_3}{(t - t_0)} c_i c_j \quad (3-36)$$

$$\begin{aligned} C_i(\mathbf{X}) &= -\frac{m_1 \omega_1}{\sin[\omega_1(t - t_0)]} (a_1 x_1 + a_2 x_2 + a_3 x_3) a_i \\ &\quad - \frac{m_2 \omega_2}{\sin[\omega_2(t - t_0)]} (b_1 x_1 + b_2 x_2 + b_3 x_3) b_i \\ &\quad - \frac{m_3}{(t - t_0)} (c_1 x_1 + c_2 x_2 + c_3 x_3) c_i \end{aligned} \quad (3-37)$$

$$\begin{aligned} D(\mathbf{X}) &= \frac{m_1 \omega_1}{2} \cot[\omega_1(t - t_0)] (a_1 x_1 + a_2 x_2 + a_3 x_3)^2 \\ &\quad + \frac{m_2 \omega_2}{2} \cot[\omega_2(t - t_0)] (b_1 x_1 + b_2 x_2 + b_3 x_3)^2 \\ &\quad + \frac{m_3}{2(t - t_0)} (c_1 x_1 + c_2 x_2 + c_3 x_3)^2 \end{aligned} \quad (3-38)$$

( $i, j = 1, 2, 3$ ) であり、また添字 ( $t$ ) を省略した。すなわち、( $x_{i(t)} = x_i$ ) である。

( $i, j = 1, 2, 3$ ), and we omitted index ( $t$ ), that is ( $x_{i(t)} = x_i$ ).

### 3.3. Derivation of wave function and numerical calculation of reduced density function.

このプロパゲーターを用いて、私達は波動関数の時間発展を次の様に書く事ができる。

Using this propagator, we can write the development of wave function as follows.

$$\psi(\mathbf{X}, t) = \int_{-\infty}^{\infty} d\mathbf{X}_0 U(\mathbf{X}, t : \mathbf{X}_0, t_0) \psi(\mathbf{X}_0, t_0) \quad (3-39)$$

私達の3体系に対する初期波動関数は、それぞれの粒子の時刻  $t_0$  における波動関数の積である。

The initial wave function for our 3 body system is a product of wave functions of each particle at the time  $t_0$ .

$$\psi(\mathbf{X}_0, t_0) = \psi_1(x_{1(0)}, t_0) \psi_2(x_{2(0)}, t_0) \psi_3(x_{3(0)}, t_0) \quad (3.40)$$

この事は、初期時刻  $t_0$  になるまでには3つの粒子間に相互作用が存在しなかった事を意味する。そしてそれぞれの初期状態はシュレーディンガー猫状態とする。

This means that there has been no interaction among those 3 particles until the initial time  $t_0$ . And the each initial state is the Schrödinger cat state

$$\psi_1(x_{1(0)}, t_0) = \tilde{N}_1 \left[ \exp \left\{ -\frac{x_{1(0)}^2}{4\sigma_1^2} \right\} + \exp \left\{ -\frac{(x_{1(0)} - d_1)^2}{4\sigma_1^2} \right\} \right] \text{ etc...} \quad (3.41)$$

式(3.33),(3.40),(3.41)を用いて、式(3.39)は次の様になる。

With equations (3.33),(3.40),(3.41), equation (3.39) comes to

$$\begin{aligned} \psi(\mathbf{X}, t) &\propto \int_{-\infty}^{\infty} dx_{1(0)} \int_{-\infty}^{\infty} dx_{2(0)} \int_{-\infty}^{\infty} dx_{3(0)} \\ &\times \exp \left[ \frac{i}{\hbar} \left\{ A_1 x_{1(0)}^2 + A_2 x_{2(0)}^2 + A_3 x_{3(0)}^2 + B_{12} x_{1(0)} x_{2(0)} + B_{23} x_{2(0)} x_{3(0)} \right. \right. \\ &\quad \left. \left. + B_{13} x_{1(0)} x_{3(0)} + C_1 x_{1(0)} + C_2 x_{2(0)} + C_3 x_{3(0)} + D \right\} \right] \\ &\times \left[ \exp \left\{ -\frac{x_{1(0)}^2}{4\sigma_1^2} - \frac{x_{2(0)}^2}{4\sigma_2^2} - \frac{x_{3(0)}^2}{4\sigma_3^2} \right\} + \exp \left\{ -\frac{(x_{1(0)} - d_1)^2}{4\sigma_1^2} - \frac{x_{2(0)}^2}{4\sigma_2^2} - \frac{x_{3(0)}^2}{4\sigma_3^2} \right\} + \dots \right. \\ &\quad \left. \dots + \exp \left\{ -\frac{(x_{1(0)} - d_1)^2}{4\sigma_1^2} - \frac{(x_{2(0)} - d_2)^2}{4\sigma_2^2} - \frac{(x_{3(0)} - d_3)^2}{4\sigma_3^2} \right\} \right] \quad (3.42) \end{aligned}$$

この式の後者の[...]は、 $(x_1, x_2, x_3)$ 空間中の8つのガウス波束を意味している。それぞれの波束がプロパゲーターによって変化していく。それらの波束の解析形を導出するために、3変数 $(x_{1(0)}, x_{2(0)}, x_{3(0)})$ についての積分が必要である。新しい複素係数 $\check{A}_1 - \check{D}$ を用いて、式(3.42)は次のようになる。

The latter [...] of this formula means 8 Gaussian packet in  $(x_1, x_2, x_3)$  space. Each packet changes by propagator. For evaluating analytic forms of those packets, integrations with three variables  $(x_{1(0)}, x_{2(0)}, x_{3(0)})$  are needed. With the new complex coefficients  $\check{A}_1 - \check{D}$ , eq.(3.42) turns into

$$\begin{aligned} \psi(\mathbf{X}, t) &= \sum_{k=0-7} \psi^{(k)}(\mathbf{X}, t) \quad (3.43) \\ \psi^{(k)}(\mathbf{X}, t) &\propto \int_{-\infty}^{\infty} dx_{1(0)} \int_{-\infty}^{\infty} dx_{2(0)} \int_{-\infty}^{\infty} dx_{3(0)} \end{aligned}$$

$$\begin{aligned} \times \exp \left[ -\check{A}_1 x_{1(0)}^2 - \check{A}_2 x_{2(0)}^2 - \check{A}_3 x_{3(0)}^2 + \check{B}_{12} x_{1(0)} x_{2(0)} + \check{B}_{23} x_{2(0)} x_{3(0)} \right. \\ \left. + \check{B}_{13} x_{1(0)} x_{3(0)} + \check{C}_1^{(k)} x_{1(0)} + \check{C}_2^{(k)} x_{2(0)} + \check{C}_3^{(k)} x_{3(0)} + \check{D}^{(k)} \right] \end{aligned} \quad (3.44)$$

ここで ( $k=0-7$ ) であり、それは私達が解くべきガウス積分である。

( $k=0-7$ ), which is the Gaussian integrals we have to solve .

$$\begin{aligned} \check{A}_1 = \frac{1}{4\sigma_1^2} - \frac{i}{\hbar} A_1, \quad \check{B}_{12} = \frac{i}{\hbar} B_{12}, \quad \check{C}_1^{(k)}(\mathbf{X}) = \frac{d_1^{(k)}}{2\sigma_1^2} + \frac{i}{\hbar} C_1(\mathbf{X}) \quad \text{etc...} \\ \check{D}^{(k)}(\mathbf{X}) = -\frac{d_1^{(k)2}}{4\sigma_1^2} - \frac{d_2^{(k)2}}{4\sigma_2^2} - \frac{d_3^{(k)2}}{4\sigma_3^2} + \frac{i}{\hbar} D(\mathbf{X}) \end{aligned} \quad (3.45)$$

ここで

where

$$\left( \begin{array}{c} k=0 \\ 1 \\ 2 \\ 3 \end{array} \left[ \begin{array}{ccc} d_1^{(k)} & d_2^{(k)} & d_3^{(k)} \\ 0 & 0 & 0 \\ d_1 & 0 & 0 \\ 0 & d_2 & 0 \\ 0 & 0 & d_3 \end{array} \right] \quad \begin{array}{c} 4 \\ 5 \\ 6 \\ 7 \end{array} \left[ \begin{array}{ccc} d_1 & d_2 & 0 \\ d_1 & 0 & d_3 \\ 0 & d_2 & d_3 \\ d_1 & d_2 & d_3 \end{array} \right] \right) \quad (3.46)$$

このガウス積分を評価することで、私達は次を得る。

Evaluating this Gaussian integrals, we get

$$\psi^{(k)}(\mathbf{X}, t) \propto \sqrt{\frac{\pi^3}{\Delta}} \exp \left[ \frac{1}{16\Delta} \Phi^{(k)}(\mathbf{X}, t) + \check{D}^{(k)}(\mathbf{X}, t) \right] \quad (3.47)$$

ここで

where

$$\Delta(t) = \check{A}_1 \check{A}_2 \check{A}_3 - \frac{1}{4} (\check{A}_2 \check{B}_{13}^2 + \check{A}_3 \check{B}_{12}^2 + \check{A}_1 \check{B}_{23}^2) - \frac{1}{4} \check{B}_{12} \check{B}_{13} \check{B}_{23} \quad (3.48)$$

$$\equiv \Re e \Delta(t) + i \Im m \Delta(t) \quad (3.49)$$

$$\begin{aligned} \Re e \Delta(t) = \frac{1}{4^3 \sigma_1^2 \sigma_2^2 \sigma_3^2} - \frac{1}{4\hbar^2} \left( \frac{A_2 A_3}{\sigma_1^2} + \frac{A_3 A_1}{\sigma_2^2} + \frac{A_1 A_2}{\sigma_3^2} \right) \\ + \frac{1}{16\hbar^2} \left( \frac{B_{23}^2}{\sigma_1^2} + \frac{B_{13}^2}{\sigma_2^2} + \frac{B_{12}^2}{\sigma_3^2} \right) \end{aligned} \quad (3.50)$$

$$\begin{aligned} \Im m \Delta(t) = \frac{1}{\hbar^3} A_1 A_2 A_3 - \frac{1}{16\hbar} \left( \frac{A_3}{\sigma_1^2 \sigma_2^2} + \frac{A_1}{\sigma_2^2 \sigma_3^2} + \frac{A_2}{\sigma_3^2 \sigma_1^2} \right) \\ - \frac{1}{4\hbar^3} (A_1 B_{23}^2 + A_2 B_{13}^2 + A_3 B_{12}^2) + \frac{1}{4\hbar^3} B_{12} B_{13} B_{23} \end{aligned} \quad (3.51)$$

その一方で、

while

$$\begin{aligned}
\Phi^{(k)}(\mathbf{X}, t) = & 4( \check{A}_2 \check{A}_3 \check{C}_1^2(\mathbf{X}) + \check{A}_1 \check{A}_3 \check{C}_2^2(\mathbf{X}) + \check{A}_1 \check{A}_2 \check{C}_3^2(\mathbf{X}) ) \\
& - \check{B}_{23}^2 \check{C}_1^2(\mathbf{X}) - \check{B}_{13}^2 \check{C}_2^2(\mathbf{X}) - \check{B}_{12}^2 \check{C}_3^2(\mathbf{X}) \\
& + 2( \check{B}_{13} \check{B}_{23} \check{C}_1(\mathbf{X}) \check{C}_2(\mathbf{X}) + \check{B}_{12} \check{B}_{13} \check{C}_2(\mathbf{X}) \check{C}_3(\mathbf{X}) + \check{B}_{12} \check{B}_{23} \check{C}_1(\mathbf{X}) \check{C}_3(\mathbf{X}) ) \\
& + 4( \check{A}_1 \check{B}_{23} \check{C}_2(\mathbf{X}) \check{C}_3(\mathbf{X}) + \check{A}_2 \check{B}_{13} \check{C}_1(\mathbf{X}) \check{C}_3(\mathbf{X}) + \check{A}_3 \check{B}_{12} \check{C}_1(\mathbf{X}) \check{C}_2(\mathbf{X}) )
\end{aligned} \tag{3-52}$$

私達は新しい複素係数を導入する。

We introduce new complex coefficients

$$(4\check{A}_2 \check{A}_3 - \check{B}_{23}^2) \equiv \lambda_1 \text{ etc.. } , (2\check{B}_{13} \check{B}_{23} + 4\check{A}_3 \check{B}_{12}) \equiv \mu_{12} \text{ etc..} \tag{3-53}$$

そして  $\Phi^{(k)}$  を次のように書き換える事ができる。

, then we can rewrite  $\Phi^{(k)}$  as follows.

$$\Phi^{(k)}(\mathbf{X}, t) = \sum_{i=1}^3 \lambda_i \check{C}_i^2(\mathbf{X}) + \sum_{\substack{(i,j)=(1,2) \text{ or} \\ (2,3) \text{ or } (3,1)}} \mu_{ij} \check{C}_i(\mathbf{X}) \check{C}_j(\mathbf{X}) \tag{3-54}$$

ここで、私達は  $\lambda_i$  と  $\mu_{ij}$  の実数部分と虚数部分を書く。

Here, we write the real part and the imaginary part of  $\lambda_i$  and  $\mu_{ij}$ .

$$\lambda_i \equiv \Re e \lambda_i + i \Im m \lambda_i \tag{3-55}$$

$$\begin{aligned}
\Re e \lambda_i = & -\frac{1}{\hbar^2} \left\{ m_1 \omega_1 \cot[\omega_1(t-t_0)] m_2 \omega_2 \cot[\omega_2(t-t_0)] (a_j b_k - a_k b_j)^2 \right. \\
& \left. + m_2 \omega_2 \cot[\omega_2(t-t_0)] \frac{m_3}{(t-t_0)} (b_j c_k - b_k c_j)^2 \right. \\
& \left. + \frac{m_3}{(t-t_0)} m_1 \omega_1 \cot[\omega_1(t-t_0)] (c_j a_k - c_k a_j)^2 \right\} + \frac{1}{4\sigma_j^2 \sigma_k^2} \tag{3-56}
\end{aligned}$$

$$\begin{aligned}
\Im m \lambda_i = & -\frac{1}{2\hbar} \left\{ m_1 \omega_1 \cot[\omega_1(t-t_0)] \left( \frac{a_j^2}{\sigma_k^2} + \frac{a_k^2}{\sigma_j^2} \right) \right. \\
& \left. + m_2 \omega_2 \cot[\omega_2(t-t_0)] \left( \frac{b_j^2}{\sigma_k^2} + \frac{b_k^2}{\sigma_j^2} \right) + \frac{m_3}{(t-t_0)} \left( \frac{c_j^2}{\sigma_k^2} + \frac{c_k^2}{\sigma_j^2} \right) \right\} \tag{3-57}
\end{aligned}$$

そして、

and

$$\mu_{ij} \equiv \Re e \mu_{ij} + i \Im m \mu_{ij} \tag{3-58}$$

$$\begin{aligned} \Re\mu_{ij} = & -\frac{2}{\hbar^2} \left\{ m_1\omega_1 \cot[\omega_1(t-t_0)] m_2\omega_2 \cot[\omega_2(t-t_0)] (a_j b_k - a_k b_j)(a_k b_i - a_i b_k) \right. \\ & + m_2\omega_2 \cot[\omega_2(t-t_0)] \frac{m_3}{(t-t_0)} (b_j c_k - b_k c_j)(b_k c_i - b_i c_k) \\ & \left. + \frac{m_3}{(t-t_0)} m_1\omega_1 \cot[\omega_1(t-t_0)] (c_j a_k - c_k a_j)(c_k a_i - c_i a_k) \right\} \end{aligned} \quad (3.59)$$

$$\begin{aligned} \Im\mu_{ij} = & \frac{1}{\sigma_k^2 \hbar} \left\{ m_1\omega_1 \cot[\omega_1(t-t_0)] a_i a_j \right. \\ & \left. + m_2\omega_2 \cot[\omega_2(t-t_0)] b_i b_j + \frac{m_3}{(t-t_0)} c_i c_j \right\} \end{aligned} \quad (3.60)$$

$$( (i, j, k) = (1, 2, 3) \text{ or } (2, 3, 1) \text{ or } (3, 1, 2) )$$

そして私達は新しい複素係数 ( $La_{11} - Mu_0^{(k)}$ ) を導入する。

And we introduce new complex factors ( $La_{11} - Mu_0^{(k)}$ ).

$$La_{dd} = \sum_{i=1}^3 \lambda_i \alpha_d^{(i)2}, \quad Mu_{dd} = \sum_{\substack{(i,j)=(1,2) \text{ or} \\ (2,3) \text{ or } (3,1)}} \mu_{ij} \alpha_d^{(i)} \alpha_d^{(j)} \quad (d = 1, 2, 3) \quad (3.61)$$

$$\begin{aligned} La_{df} = & 2 \sum_{i=1}^3 \lambda_i \alpha_d^{(i)} \alpha_f^{(i)}, \quad Mu_{df} = \sum_{(i,j)} \mu_{ij} \left( \alpha_d^{(i)} \alpha_f^{(j)} + \alpha_d^{(j)} \alpha_f^{(i)} \right) \quad (3.62) \\ & ( (d, f) = (1, 2) \text{ or } (2, 3) \text{ or } (3, 1) ) \end{aligned}$$

$$La_d^{(k)} = \sum_{i=1}^3 \lambda_i \frac{d_i^{(k)}}{\sigma_i^2} \alpha_d^{(i)}, \quad Mu_d^{(k)} = 0.5 \sum_{(i,j)} \mu_{ij} \left( \frac{d_i^{(k)}}{\sigma_i^2} \alpha_d^{(j)} + \frac{d_j^{(k)}}{\sigma_j^2} \alpha_d^{(i)} \right) \quad (3.63)$$

$$La_0^{(k)} = 0.25 \sum_{i=1}^3 \lambda_i \frac{d_i^{(k)2}}{\sigma_i^4}, \quad Mu_0^{(k)} = 0.25 \sum_{(i,j)} \mu_{ij} \frac{d_i^{(k)}}{\sigma_i^2} \frac{d_j^{(k)}}{\sigma_j^2} \quad (3.64)$$

この  $\alpha_d^{(i)}$  は実数であり、

this  $\alpha_d^{(i)}$  are real,

$$C_i(\mathbf{X}) = -\alpha_1^{(i)} x_1 - \alpha_2^{(i)} x_2 - \alpha_3^{(i)} x_3 \quad (3.65)$$

$$\alpha_d^{(i)} \equiv \left( \frac{m_1\omega_1}{\sin[\omega_1(t-t_0)]} a_i \right) a_d + \left( \frac{m_2\omega_2}{\sin[\omega_2(t-t_0)]} b_i \right) b_d + \left( \frac{m_3}{(t-t_0)} c_i \right) c_d \quad (3.66)$$

それゆえに、( $La_{11} - Mu_0^{(k)}$ ) の実数部と虚数部は単純に ( $\lambda_i, \mu_{ij}$ ) の実数部、虚数部それぞれに対応する。すなわち、

therefore the real and the imaginary part of  $(La_{11} - Mu_0^{(k)})$  simply correspond to the real part and the imaginary part of  $(\lambda_i, \mu_{ij})$  respectively, that is

$$\Re La_{dd} = \sum_{i=1}^3 \Re \lambda_i \alpha_d^{(i)2} \quad \text{etc..} \quad (3.67)$$

すると、 $\Phi^{(k)}$  の実数部と虚数部は次の様になる。

Then the real and the imaginary part of  $\Phi^{(k)}$  are

$$\Phi^{(k)}(\mathbf{X}, t) \equiv \Re \Phi^{(k)}(\mathbf{X}, t) + i \Im \Phi^{(k)}(\mathbf{X}, t) \quad (3.68)$$

上述の式を用いて、

With the help of the formulae above,

$$\begin{aligned} \Re \Phi^{(k)}(\mathbf{X}, t) = & -\frac{1}{\hbar^2} (\Re La_{11} + \Re Mu_{11}) x_1^2 - \frac{1}{\hbar^2} (\Re La_{22} + \Re Mu_{22}) x_2^2 \\ & - \frac{1}{\hbar^2} (\Re La_{33} + \Re Mu_{33}) x_3^2 - \frac{1}{\hbar^2} (\Re La_{12} + \Re Mu_{12}) x_1 x_2 \\ & - \frac{1}{\hbar^2} (\Re La_{23} + \Re Mu_{23}) x_2 x_3 - \frac{1}{\hbar^2} (\Re La_{31} + \Re Mu_{31}) x_3 x_1 \\ & + \frac{1}{\hbar} (\Im La_1^{(k)} + \Im Mu_1^{(k)}) x_1 + \frac{1}{\hbar} (\Im La_2^{(k)} + \Im Mu_2^{(k)}) x_2 \\ & + \frac{1}{\hbar} (\Im La_3^{(k)} + \Im Mu_3^{(k)}) x_3 + \Re La_0^{(k)} + \Re Mu_0^{(k)} \quad (3.69) \end{aligned}$$

$$\begin{aligned} \Im \Phi^{(k)}(\mathbf{X}, t) = & -\frac{1}{\hbar^2} (\Im La_{11} + \Im Mu_{11}) x_1^2 - \frac{1}{\hbar^2} (\Im La_{22} + \Im Mu_{22}) x_2^2 \\ & - \frac{1}{\hbar^2} (\Im La_{33} + \Im Mu_{33}) x_3^2 - \frac{1}{\hbar^2} (\Im La_{12} + \Im Mu_{12}) x_1 x_2 \\ & - \frac{1}{\hbar^2} (\Im La_{23} + \Im Mu_{23}) x_2 x_3 - \frac{1}{\hbar^2} (\Im La_{31} + \Im Mu_{31}) x_3 x_1 \\ & - \frac{1}{\hbar} (\Re La_1^{(k)} + \Re Mu_1^{(k)}) x_1 - \frac{1}{\hbar} (\Re La_2^{(k)} + \Re Mu_2^{(k)}) x_2 \\ & - \frac{1}{\hbar} (\Re La_3^{(k)} + \Re Mu_3^{(k)}) x_3 + \Im La_0^{(k)} + \Im Mu_0^{(k)} \quad (3.70) \end{aligned}$$

そして  $\check{D}^{(k)}(\mathbf{X})$  は

And another formula  $\check{D}^{(k)}(\mathbf{X})$  is

$$\check{D}^{(k)}(\mathbf{X}) \equiv \Re \check{D}^{(k)} + i \Im \check{D}^{(k)}(\mathbf{X}) \quad (3.71)$$

$$\Re \check{D}^{(k)} = -\frac{d_1^{(k)2}}{4\sigma_1^2} - \frac{d_2^{(k)2}}{4\sigma_2^2} - \frac{d_3^{(k)2}}{4\sigma_3^2} \quad (3.72)$$

$$\Im \check{D}^{(k)}(\mathbf{X}) = D(\mathbf{X})/\hbar \quad (3.73)$$

次に、波動関数は式 (3.47) より、



Next, the wave function is from eq.(3.47),

$$\psi^{(k)}(\mathbf{X}, t) \propto \sqrt{\frac{\pi^3 \Delta^*}{|\Delta|^2}} \exp \left[ \frac{\Delta^*}{16|\Delta|^2} \Phi^{(k)}(\mathbf{X}, t) + \check{D}^{(k)}(\mathbf{X}, t) \right] \quad (3.74)$$

$$\equiv \check{Q} \exp[ \Theta^{(k)}(\mathbf{X}, t) ] \quad (3.75)$$

ここで、

where

$$\check{Q} \equiv \Re \check{Q} + i \Im \check{Q} \quad (3.76)$$

$$\Re \check{Q} = \sqrt{\frac{\pi^3}{|\Delta|}} \cos \frac{\phi}{2}, \quad \Im \check{Q} = \sqrt{\frac{\pi^3}{|\Delta|}} \sin \frac{\phi}{2} \quad : \phi = \arctan (\Im \Delta / \Re \Delta) \quad (3.77)$$

そして、

and

$$\Theta^{(k)}(\mathbf{X}, t) \equiv \Re \Theta^{(k)}(\mathbf{X}, t) + i \Im \Theta^{(k)}(\mathbf{X}, t) \quad (3.78)$$

$$\Re \Theta^{(k)}(\mathbf{X}, t) = \frac{1}{16|\Delta|^2} ( \Re \Delta \cdot \Re \Phi^{(k)} + \Im \Delta \cdot \Im \Phi^{(k)} ) + \Re \check{D}^{(k)} \quad (3.79)$$

$$\Im \Theta^{(k)}(\mathbf{X}, t) = \frac{1}{16|\Delta|^2} ( \Re \Delta \cdot \Im \Phi^{(k)} - \Im \Delta \cdot \Re \Phi^{(k)} ) + \Im \check{D}^{(k)}(\mathbf{X}) \quad (3.80)$$

そうすると、波動関数の実数部と虚数部は次の様になる。

Then, the real part and the imaginary part of the wave function are as follows.

$$\psi^{(k)}(\mathbf{X}, t) \equiv \Re \psi^{(k)}(\mathbf{X}, t) + i \Im \psi^{(k)}(\mathbf{X}, t) \quad (3.81)$$

$$\begin{aligned} \Re \psi^{(k)}(\mathbf{X}, t) &\propto \exp[ \Re \Theta^{(k)} ] \left( \Re \check{Q} \cdot \cos[ \Im \Theta^{(k)} ] - \Im \check{Q} \cdot \sin[ \Im \Theta^{(k)} ] \right) \\ &= \sqrt{\frac{\pi^3}{|\Delta|}} \exp[ \Re \Theta^{(k)} ] \cdot \cos \left[ \Im \Theta^{(k)} + \frac{\phi}{2} \right] \end{aligned} \quad (3.82)$$

$$\begin{aligned} \Im \psi^{(k)}(\mathbf{X}, t) &\propto \exp[ \Re \Theta^{(k)} ] \left( \Re \check{Q} \cdot \sin[ \Im \Theta^{(k)} ] + \Im \check{Q} \cdot \cos[ \Im \Theta^{(k)} ] \right) \\ &= \sqrt{\frac{\pi^3}{|\Delta|}} \exp[ \Re \Theta^{(k)} ] \cdot \sin \left[ \Im \Theta^{(k)} + \frac{\phi}{2} \right] \end{aligned} \quad (3.83)$$

そうすると、( $k = 0 - 7$ ) について足し合わせた全波動関数は、

Therefore the total wave function summed with ( $k = 0 - 7$ ) is

$$\psi^{(total)}(\mathbf{X}, t) \equiv \Re \psi^{(total)}(\mathbf{X}, t) + i \Im \psi^{(total)}(\mathbf{X}, t) \quad (3.84)$$

$$\Re \psi^{(total)} = C \sqrt{\frac{\pi^3}{|\Delta|}} \sum_{k=0}^7 \exp[ \Re \Theta^{(k)} ] \cdot \cos \left[ \Im \Theta^{(k)} + \frac{\phi}{2} \right] \quad (3.85)$$

$$\Im m \psi^{(total)} = C \sqrt{\frac{\pi^3}{|\Delta|}} \sum_{k=0}^7 \exp[ \Re e \Theta^{(k)} ] \cdot \sin \left[ \Im m \Theta^{(k)} + \frac{\phi}{2} \right] \quad (3-86)$$

ここで私達は実数の規格化定数  $C$  を導入した。そうすると、全系の量子力学的確率密度関数は以下の様になる。

Here we introduced a real normalization constant  $C$ . Then the quantum mechanical probability density function of total system become as follows.

$$\begin{aligned} \rho^{(total)}(\mathbf{X}, t) &= \Re e^2 \psi^{(total)} + \Im m^2 \psi^{(total)} \\ &= C^2 \frac{\pi^3}{|\Delta|} \sum_{k=0}^7 \sum_{l=0}^7 \exp[ \Re e \Theta^{(k)} + \Re e \Theta^{(l)} ] \cdot \cos[ \Im m \Theta^{(k)} - \Im m \Theta^{(l)} ] \\ &= C^2 \frac{\pi^3}{|\Delta|} \left( \sum_{k=0}^7 \exp[ 2\Re e \Theta^{(k)} ] \right. \\ &\quad \left. + 2 \sum_{k < l}^{0-7} \exp[ \Re e \Theta^{(k)} + \Re e \Theta^{(l)} ] \cdot \cos[ \Im m \Theta^{(k)} - \Im m \Theta^{(l)} ] \right) \end{aligned} \quad (3-87)$$

式(3-87)の(…)内の最初の項は、初期時刻( $t = t_0$ )においてもともとガウス型波束であった8つの波束を意味している。その一方で、二番目の項はそれらの「干渉」項であるが、それはこの模型での量子デコヒーレンスによって消える量子干渉とは同じではない。

The first term in (….) of equation (3-87) means the eight wave packets which originally are the Gaussian packets at the initial time ( $t = t_0$ ). While the second term is their “interference” term, which is not the same as the quantum interference vanishes by quantum decoherence in this model.

私達は全体としての3体系についての情報に興味が無い、私達は部分系としての粒子1についての情報のみに興味がある事を記しておく。それゆえに、粒子2と3についての情報を積分し消去する。そうすると私達は粒子1のみに関する情報、すなわち粒子1の縮約密度関数を得る事ができる。

Note that we are not interested in informations about total 3-body system, we are interested in only the information about particle-1 as a sub-system. Therefore we should integrate out informations about particle-2 and -3. Then we can get the information about particle-1 only, that is, the reduced density function for particle-1.

$$\tilde{\rho}_1^{(reduced)}(x_1, t) \equiv \int_{-\infty}^{\infty} \int_{-\infty}^{\infty} dx_2 dx_3 \rho^{(total)}(\mathbf{X}, t) \quad (3-88)$$

式(3-87)を式(3-88)に代入すると、

We substitute eq.(3-87) into eq.(3-88),

$$\tilde{\rho}_1^{(reduced)}(x_1, t) = C^2 \frac{\pi^3}{|\Delta|} \left( \sum_{k=0}^7 \int_{-\infty}^{\infty} \int_{-\infty}^{\infty} dx_2 dx_3 \exp[ 2\Re e \Theta^{(k)} ] \right)$$

$$+2 \sum_{k<l}^{0-7} \int_{-\infty}^{\infty} \int_{-\infty}^{\infty} dx_2 dx_3 \exp[ \Re\theta^{(k)} + \Re\theta^{(l)} ] \cdot \cos[ \Im\theta^{(k)} - \Im\theta^{(l)} ] \Big) \quad (3.89)$$

ここで、「干渉項」にも二種類ある事に注意する。異なる波束間に干渉がある時に、それぞれの波束に含まれる粒子1の巨視的状态は同一であるかも知れない。初期状態で考えるとわかりやすい。式(3.46)から、

Here we notice that there are two kinds of “interference term”. When there is an interference between different packets, macroscopic states of particle-1 included in each packet may be the same. It is simple that we think the initial states. From eq.(3.46),

$$\begin{aligned} k = 0, 2, 3, 6 & : \text{The packet around } (x_1 = 0) \text{ at initial time } (t = t_0). \\ k = 1, 4, 5, 7 & : \text{The packet around } (x_1 = d_1) \text{ at initial time.} \end{aligned} \quad (3.90)$$

$(x_1, x_2, x_3)$  空間中の8つの波束は、これらの2つのグループに分けられる。同一のグループ内での遷移は粒子2と3の状態についての遷移であり、粒子1に対する物では無い。粒子1は同一の状態にいる訳であるから、これらは私達が本当に見たいと思っている、粒子1に対する異なる状態間での本当の干渉ではない。

The 8 packets in the  $(x_1, x_2, x_3)$  space are separated into these two groups. The interference between packets in the same group means the transition between the states for particle-2 and 3, not for particle-1. Because the particle-1 is in the same its own state, these are not the true interferences between different states for particle-1 which really we want to see.

今、私達はこれらの8つの波束を2つのグループに分けなくてはならず、そして同じグループ内での「干渉」項を波束部分に加えなくてはならない。私達はそれらを粒子1にとっての実質的な状態であるとみなす。つまり、

Now we have to separate these 8 packets into two groups above, and we have to add the “interference” terms among the packets in the same group to the packet terms. We regard them as the effective states for the particle-1. That is,

○ The packet around  $(x_1 = 0)$  at initial time  $t_0$ .

$$\begin{aligned} \tilde{\rho}_{1,0}^{\text{eff}}(x_1, t) &\equiv C^2 \frac{\pi^3}{|\Delta|} \sum_{k=0,2,3,6} \left( \int_{-\infty}^{\infty} \int_{-\infty}^{\infty} dx_2 dx_3 \exp[ 2\Re\theta^{(k)} ] \right. \\ &\quad \left. + 2 \sum_{l=0,2,3,6}^{k<l} \int_{-\infty}^{\infty} \int_{-\infty}^{\infty} dx_2 dx_3 \exp[ \Re\theta^{(k)} + \Re\theta^{(l)} ] \cdot \cos[ \Im\theta^{(k)} - \Im\theta^{(l)} ] \right) \end{aligned} \quad (3.91)$$

○ The packet around  $(x_1 = d_1)$  at initial time  $t_0$ .

$$\tilde{\rho}_{1,d}^{\text{eff}}(x_1, t) \equiv C^2 \frac{\pi^3}{|\Delta|} \sum_{k=1,4,5,7} \left( \int_{-\infty}^{\infty} \int_{-\infty}^{\infty} dx_2 dx_3 \exp[ 2\Re\theta^{(k)} ] \right)$$

$$+2 \sum_{l=1,4,5,7}^{k<l} \int_{-\infty}^{\infty} \int_{-\infty}^{\infty} dx_2 dx_3 \exp[ \Re\theta^{(k)} + \Re\theta^{(l)} ] \cdot \cos[ \Im\theta^{(k)} - \Im\theta^{(l)} ] \Big) \quad (3-92)$$

○ Their interference term.

$$\tilde{\rho}_{1-int}^{\text{eff}}(x_1, t) \equiv 4C^2 \frac{\pi^3}{|\Delta|} \sum_{\substack{k=0,2,3,6 \\ l=1,4,5,7}}^{k<l} \int_{-\infty}^{\infty} \int_{-\infty}^{\infty} dx_2 dx_3 \exp[ \Re\theta^{(k)} + \Re\theta^{(l)} ] \cdot \cos[ \Im\theta^{(k)} - \Im\theta^{(l)} ] \quad (3-93)$$

最後に、私達は粒子1に対する縮約密度関数を次の様に得られる。

Finally, we get the reduced density for particle-1 as follows.

$$\tilde{\rho}_1(x_1, t) = \tilde{\rho}_{1-0}^{\text{eff}}(x_1, t) + \tilde{\rho}_{1-d_1}^{\text{eff}}(x_1, t) + \tilde{\rho}_{1-int}^{\text{eff}}(x_1, t) \quad (3-94)$$

私達は式(3-88)内の積分と、最終的な規格化を数値的に行った。

We used numerical calculation for integrations in eq.(3-88) and final normalization.

### 3.4. Simulation Result

$\omega_{12} = 0.305$ ,  $\omega_{13} = 0.1$ ,  $\omega_{23} = 0.202$  の場合を以下に示す。左上から右下にかけて、図はそれぞれ時刻

$t = 0.005, 0.705, 1.405, 2.105, 2.805, 4.205, 5.605, 205.605, 2000.005, 5000.005$  に対応している。見ての通り、それぞれの図において2つの波束が存在している。右側の波束  $[\tilde{\rho}_{1-0}^{\text{eff}}]$  は初期状態で原点 ( $x_1 = 0$ ) に存在する。左側の波束  $[\tilde{\rho}_{1-d_1}^{\text{eff}}]$  は初期状態で座標 ( $x_1 = d_1$ ) に存在している。そして2つの波束の線が存在する。下の波線  $[\tilde{\rho}_{1-int}^{\text{eff}}]$  はこれら2つの波束間の量子干渉項であり、この消滅は古典性の出現を意味している。上の波線  $[\tilde{\rho}_1(x_1, t)]$  はそれら全てを合わせた粒子1の全縮約密度関数である。それらの横軸は粒子1の位置  $x_1$  である。

The case  $\omega_{12} = 0.305$ ,  $\omega_{13} = 0.1$ ,  $\omega_{23} = 0.202$  is showed as follows. From upper left to bottom right, the figures are corresponding to time

$t = 0.005, 0.705, 1.405, 2.105, 2.805, 4.205, 5.605, 205.605, 2000.005, 5000.005$ , respectively. As you can see, there are 2 packets in each figure. The right packet is  $[\tilde{\rho}_{1-0}^{\text{eff}}]$  which is in the origin ( $x_1 = 0$ ) initially. The left packet is  $[\tilde{\rho}_{1-d_1}^{\text{eff}}]$  which is in ( $x_1 = d_1$ ) initially. And there are 2 wave-like lines. The lower wave line is the quantum interference term  $[\tilde{\rho}_{1-int}^{\text{eff}}]$  between these 2 packets, whose disappearance means the emergence of classicality. The upper wave line is their total reduced density for particle 1,  $[\tilde{\rho}_1(x_1, t)]$ . Their horizontal axes are particle-1's position,  $x_1$ .

この場合、しばらくの間は2つの波束間の干渉は強いが、しかし時刻  $t \simeq 5.6$  以降では、干渉は比較的弱くなる。これはデコヒーレンスが生じた事を意味する。

In this case, momentarily the interference between two packets are strong, but after the time  $t \simeq 5.6$ , the interferences are comparatively weakened. It means the quantum decoherence arises.

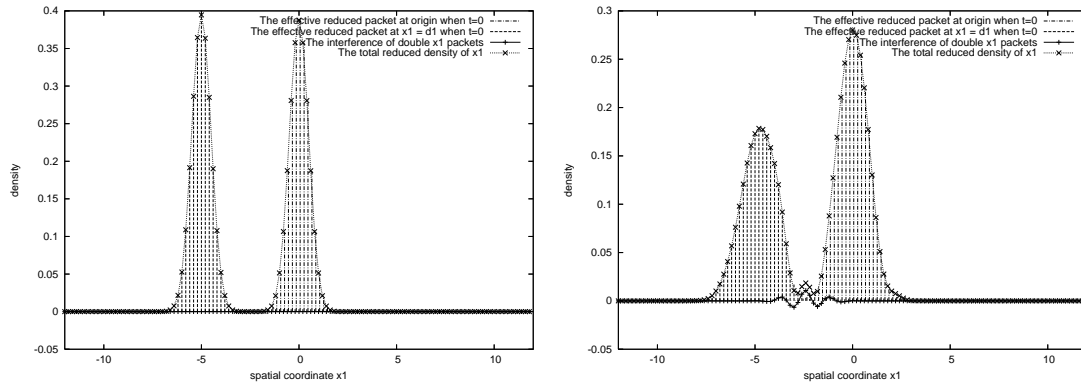


Fig. 3. ↑ (Left)  $t=0.005$ , (Right)  $t=0.705$

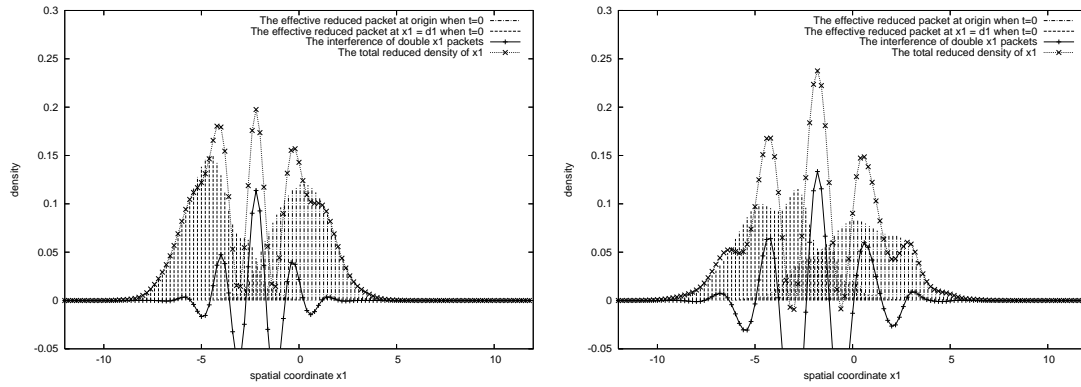


Fig. 4. ↑ (Left)  $t=1.405$ , (Right)  $t=2.105$

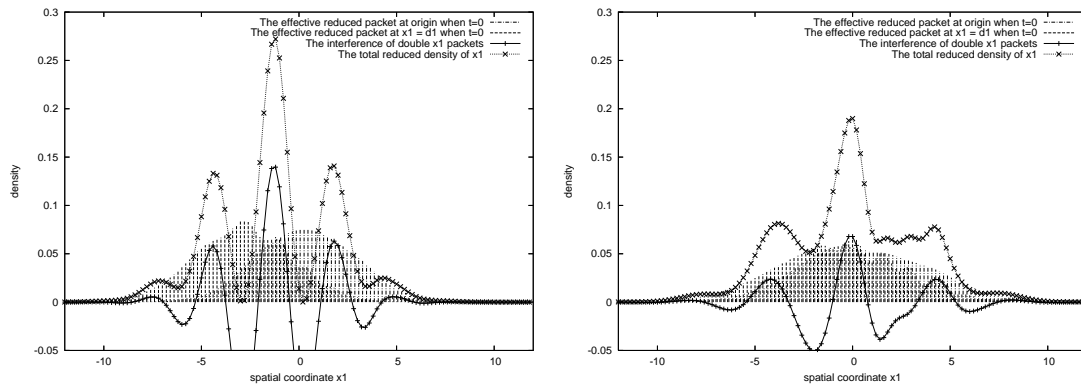


Fig. 5. ↑ (Left)  $t=2.805$ , (Right)  $t=4.205$

今回の3匹のシュレーディンガー猫模型によって、3つの自由度を含む閉じた有限系の1体部分系においてデコヒーレンスが生じる事が示された。言い換えると、ただ2つの環境自由度を持つ、開いた1体系においてデコヒーレンスが生じる事が示された。

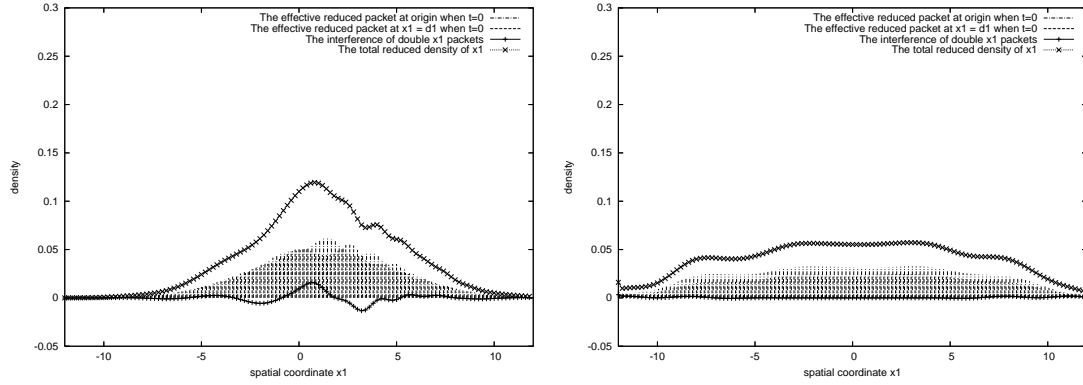


Fig. 6.  $\uparrow$  (Left)  $t=5.605$ , (Right)  $t=205.605$

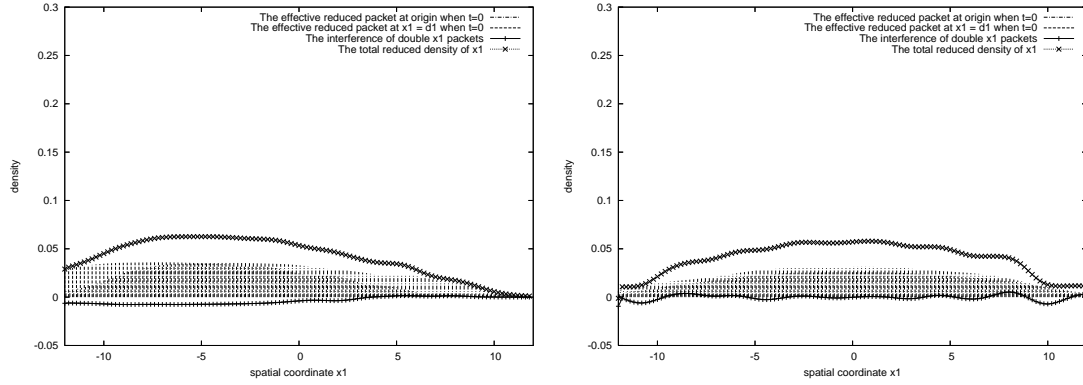


Fig. 7.  $\uparrow$  (Left)  $t=2000.005$ , (Right)  $t=5000.005$

By this Three Schrödinger cats model, it was showed that the quantum decoherence would arise in a 1-body sub-system of a closed finite system which consists of three degrees of freedom. In other words, it was showed that decoherence would arise in an opened 1-body system with only two environmental degrees of freedom.

◇

## §4. Discussion

私達は3つの自由度を持った量子系の中での古典性の出現の可能性を示した。何がこのデコヒーレンスを生じさせたのか? この模型では、私達はメインとなる系として1自由度のみを選び、他の2自由度を環境と見なした。そうすると、メイン系の量子力学的性質が、他の2つの自由度による「環境効果」によって消滅した。それらはメイン系を攪乱し、そして量子干渉を壊した。

We showed the possibility of emergence of classicality in a quantum mechanical system with 3 degrees of freedom. What did make this quantum decoherence? In this model, we selected only 1 degree as main system, and regarded other 2 degrees of freedom as environments. Then, the quantum mechanical property of the main system vanished because of the “environmental effects” of other two degrees of freedom. They disturbed the main system and destroyed its quantum interference.

デコヒーレンスの為には、「ランダム性」が重要だと思える。ランダムな外力が系にデコヒーレンスを起こさせる事が知られている。しかし「ランダム性」の導入は人為的な手法に過ぎない事に注意せよ。もし私達が外力の時間発展を完全に知っていたとすると、そのときは私達はそれらを「ランダム」力とは呼べなくなるが、しかしデコヒーレンスは生じるだろう。

For decoherence, it seems that “randomness” is important. It is known that external random forces make a system decoherence. But remember that the introduction of “randomness” is only an artificial procedure. If we know the time evolution of external forces perfectly, then we can not say they are “random” forces, but the quantum decoherence will arise.

今回、私達の模型は3自由度全体としては完全に決定論的だった。1つの自由度をメイン系として選んだ後でも、私達は他の2つの自由度からの「外的な」力がいつ/どのように働くかを知ることができる。しかし私達の模型でもデコヒーレンスは生じた。それゆえに、「ランダム性」が量子力学的な性質を破壊するのでは無い。おそらく本当に大切な事はどのように系が運動しているか、そして射影の手法だろう。

This time, our model is fully deterministic for 3 degrees of freedom as a whole. After we select a degrees of freedom as a main system, we can know when/how the “external” forces from other 2 degrees of freedom work. But the quantum decoherence occurred in our model. Therefore the “randomness” does not destroy the quantum mechanical nature. Maybe, the truly important thing is how the system drives, and the projection procedure.

この論文では、私達が1自由度をメイン系として選び、そして他の2つの自由度を環境とみなした時、私達はその環境2自由度を積分し、消去した。ここではこの手法を「射影」と呼ぶことにする。Caldeira-Leggett 模型においても、私達の3匹の猫模型においても、全系(メイン系+環境)は量子力学的系として取り扱われている。そしてメインとなる系は射影によって選択される。そしてそれらは古典性を得る。

In this paper, when we select 1 degree of freedom as a main system and regard other 2 degrees of freedom as a environment, we integrate out the environmental 2 degrees of freedom. We call the procedure “projection” here. Both in the Caldeira-Leggett Model and our 3-Schrödinger cats model, the total (main system +

environment) system is treated as a quantum mechanical system. And main system is selected by projection, and they get classicality.

それゆえに、その射影の手法がメイン系を古典的にさせたと考える事が自然である。言い換えると、古典性とは部分系の特質である。なぜならば、射影は全体系からある部分系を選択する手法だからである。それゆえに、環境によるデコヒーレンスと射影によるデコヒーレンスは等価であると考えべきである。

Therefore it is natural that we should think that the projection procedure makes the main system classical. In other words, classicality is the property of subsystems. Because the projection is a method to select some subsystem from a whole system. Therefore we should assume that the decoherence by environmental effects and the one by projection are equivalent.

量子系の性質は、それと対応した古典系の古典的性質と関係している事が推測される。私達は3匹の猫模型での量子デコヒーレンスと、その古典対応の系での古典軌道の振舞いの間の関係を以下において示す。

It is expected that the quantum mechanical property of the system relates to the classical mechanical property of its equivalent classical system. We will show a relationship between the quantum decoherence in our 3-Schrödinger cats model and a behavior of classical orbits in its classical equivalent model as follows. ◇

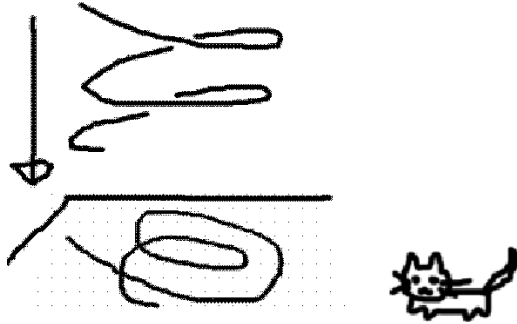


Fig. 8. Projection makes orbits crossing.

## §5. Quantum Decoherence/Irreversibility

量子デコヒーレンスは非ユニタリ過程の一種であり、量子干渉の消滅を意味する。「波動関数の収縮」はデコヒーレンスによって理解される。量子干渉の消滅によって、系はどのような量子遷移も行うことができない。それゆえにその系は実質的な古典状態を獲得する。私達はデコヒーレンスの原因として、環境への散逸、そして環境からの揺動を知っている。それらはそれぞれランジュバン方程式の減衰項そしてランダム外力項に対応している。そのために、不可逆過程とデコヒーレンスの間には何らかの関係があるはずである。

The Quantum Decoherence is a kind of non-unitary process, which means disappearance of quantum interference. “The collapse of the wave function” is understood by decoherence. Because of the disappearance of quantum interference, a system can



not do any quantum transitions. Therefore the system gets effective classicality. We know the cause of decoherence such as the dissipation to environment, and the fluctuation from environment. They are corresponding to the damping and the random forces of Langevin equation respectively. So there must be any relationship between the irreversible process and decoherence.

昔は、可逆であるニュートン方程式または正準方程式から不可逆なランジュバン方程式を導出する事の難しさが問題となったそうである。その状況は、非ユニタリな「波動関数の収縮」をユニタリなシュレーディンガー方程式で導出する事の難しさと同じである。

In old days, there was a problem of difficulty to derive the irreversible Langevin equation from the reversible Newton equation or the canonical equations. The situation is the same as the problem of difficulty to derive non-unitary “the collapse of the wave function” by the unitary Schrödinger equation.

現在では、ランジュバン方程式は射影演算子を用いた粗視化の方法によって導出される事が知られている。射影は全体系から任意の部分系を引き出す。その部分系が他の無視された部分(「環境」と結び付いている時、その影響は環境効果として認識されるだろう。それゆえに、射影/粗視化の手法による不可逆性の出現と環境によるそれは同等である。

Now, it is known that the Langevin equation is derived by the coarse graining procedures using the projection operators. The projection extracts the arbitrary subsystem from the total system. When the subsystem couples with the other neglected part(“environment”), the effect would be considered as the environmental effects. Therefore, the appearance of the irreversibility by projection/coarse graining procedure and that by the environment are equivalent.

A.O.Caldeira と A.J.Leggett は調和振動子ポテンシャル中の2つのガウス波束間の量子干渉が、無限個の調和振動子からなる熱浴によって消滅するという事を示した<sup>1)</sup>。すなわち、彼らは熱浴中の系はその量子力学的な性質を失うことを示した。彼らは Feynman-Vernon の影響汎関数法を用いたが、それは熱浴の影響を含めたプロパゲーターを用いる方法であり、そしてそれは射影の方法と数学的に等価である。それゆえに私達はその射影が系を古典的にしたと考える事ができる。

A.O.Caldeira and A.J.Leggett showed the disappearance of quantum interference between two Gaussian packets in a harmonic oscillator potential by the heat bath which consists of infinite numbers of harmonic oscillators<sup>1)</sup>. That is to say, they showed that the system in a heat bath lost its quantum property. They used the Feynman-Vernon's influence functional method, which is the way of using the propagator with effects of heat bath, and is mathematically equivalent to the projection method. Therefore we can understand the projection make the system classical.

このように、射影の方法が不可逆性(時間反転対称性の破れ)と古典性(ユニタリ性の破れ)を作り出す事は知られている。しかし私はなぜ射影がそれらを作り出すのかを知らなかった。そのために、私は不可逆性の原因について質的な描像を与える事を試みた。

Thus, it is known that the projection procedures make an irreversibility(the break down of time reversal symmetry) and a classicality(the break down of unitarity). But I didn't know why a projection makes them. So I have tried to make a

qualitative picture for an origin of irreversibility.

閉じたハミルトン系に対する位相空間中の古典軌道同士はお互いに交わらない。それゆえに、もし私達はその系の過去や未来を知りたいければ、私達は一つの軌道をたどる事によってそれらを推測する事ができる。この事は運動の可逆性や予言可能性を保証する。カオスは系に何らかの不可逆性を与えると期待されているかも知れない。なぜなら私達がカオス領域の一つの点を取ったとき、私達はその過去を推測することが出来ないからである。カオスによって作られた軌道の不明瞭性は、時間発展だけでなく時間逆行と共に増加する。

Classical orbits within a the phase space for a closed Hamiltonian system do not cross each other. Therefore, if we want to know the past or the future of the system, we can guess them by following an orbit. This guarantees the reversibility and the predictability of motion. Chaos may be expected to make any irreversibility for system. Because when we take a point in phase space with chaos region, we can not guess its past. The indefiniteness of orbits made by chaos increases not only with the time evolution but also with the time reversal.

しかし、古典的運動を不明瞭にするためだけならば、私達はカオスをわざわざ必要とはしない。とにかく運動を不明瞭にするために、私達は外部系すなわち環境を用意する。そうすると、軌道はその環境の可能な状態に対応して分岐するだろう。私達はその効果を「ランダム外力」と呼ぶかも知れないが、その原因は環境についての私達の知識の欠乏である。そして原理的には、環境系の力学に対して何らかの「ランダム種」を用いる必要は無い。

But, we do not bother to need chaos only for making the classical motion obscure. Anyway to make any indefiniteness of motion, we prepare an external system or an environment. Then the orbit will branch according to probable states of the environment. We may call the effect “the random force”, its origin is the lack of our knowledge of the environment. And in principle there is no need to use any “random seed” for mechanics of the environment.

私達が全体系を、それは私達のメインとなる系とその環境系で構成されているが、それが閉鎖系でかつ非カオス的であると仮定した時、その全位相空間中での古典軌道は一意に決定され、そしてお互いに交わらない。

When we assume the total system, which consists of our main system and the environment, is closed and non-chaotic, then its classical orbits in the total phase space have to be defined uniquely and do not cross each other.

しかし私達のメイン系の軌道はそのとき分岐しているに違いない。そのメイン系は射影の方法によって定義されるべきものであるから、それゆえに私達はその射影の方法そのものが軌道の分岐を引き起こすと認識すべきである。実際の所、その分岐は軌道同士の交差点になっているだろう。それは射影によって作られる図形に特徴的な物である。交差点において、「私達が未来を一意に決められない」という事が運動のランダム性を意味する。その交差点からは未来へとだけではなく過去にもいくつかの道が繋がっている。「私達が過去を一意に決められない」という事が運動の不可逆性を意味する。この描像では、不可逆性とランダム性は等価であると言える。

But our main system's orbits must be branching then. The main system should be defined by a projection procedure, therefore we should realize that the projection procedure itself would make the branch of orbits. Really the branch would be an

intersection of orbits, which is characteristic of figures made by projection. At the intersection, the thing "We can not decide the future uniquely." means the randomness of motion. From the crossing point, there are the some ways not only to the futures but also to the pasts. The thing "We can not decide the past uniquely." means the irreversibility of motion. In this image, the irreversibility and the randomness are the equivalent.◇



Fig. 9. Crossing makes the system irreversible?

## §6. Crossing of Classical Orbits and Quantum Decoherence

量子系の量子力学的性質は、対応する古典的運動と関係があると推測される。なぜならば、デコヒーレンスは多くの「古典的に」(古典的対応物が) 不可逆な系で起こるためである。多くの観測プロセスは不可逆である。上に書いたように、不可逆過程は異なった履歴を持った古典軌道同士の交差によって作られると、もし私達が仮定するならば、その交差は量子系に影響を与えるに違いない。

The quantum mechanical behavior of quantum system is supposed to relate with the corresponding classical motion. Because decoherence occurs in many "classically"(classical equivalent) irreversible systems. Most observation processes are irreversible. As I noted above, if we assume the irreversibility is made by crossing of classical orbits with different histories, that crossing must affect the quantum systems.

古典的な調和3体問題において、私達は粒子1の空間軌道( $x_1 = x_1(t)$ )と時刻 $t$ でのグラフを描くことができる。それぞれの粒子に対し2つの初期位置を準備し、そしてそれらの初期速度は全て0とする。そうすると、私達は $(x_1 - t)$ 平面上に $2^3 = 8$ 本の曲線を描く事ができる。そして私達はそれと対応した量子系を3匹の猫模型で準備する事ができる。各ポテンシャルの振動数 $\omega_{ij}$ は古典模型と同一にし、そしてそれぞれの粒子の2つの初期位置は、シュレーディンガー猫状態の2つの波束中心で表現される。そうして、私達は粒子1の縮約密度関数の量子干渉項を観察する。

In a classical harmonic three body problem, we can draw the spatial orbit of particle-1 ( $x_1 = x_1(t)$ ) versus time  $t$ . Each particle has 2 initial positions and their all initial velocities are set 0. Then we can draw  $2^3 = 8$  lines on  $(x_1 - t)$  plane. And we can simulate its equivalent quantum system by the three cats model. Each frequency of potentials  $\omega_{ij}$  is same as the classical model, and 2 initial positions of each particle are expressed by centers of packets of the Schrödinger cat state. Then we will observe the quantum interference term of the reduced density of particle-1.

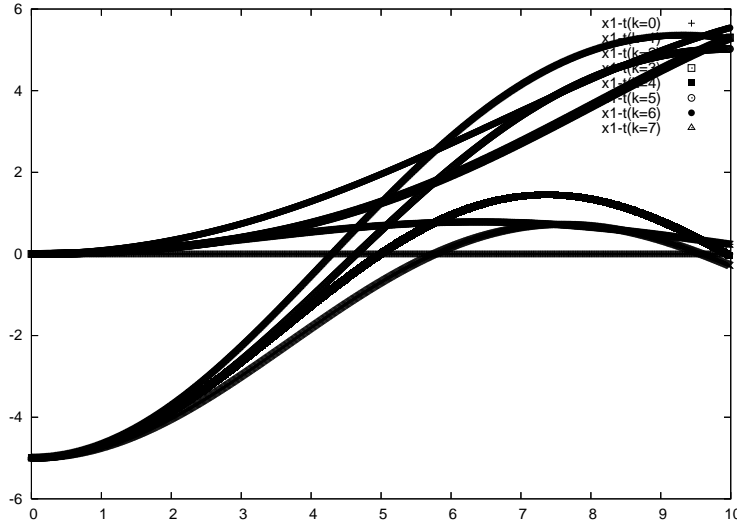


Fig. 10. The crossing of classical orbits for particle-1. The horizontal axis is time  $t$ , and the vertical axis is particle-1's position,  $x_1(t)$ . Orbits are crossing at time  $t=4.0-6.0$ .

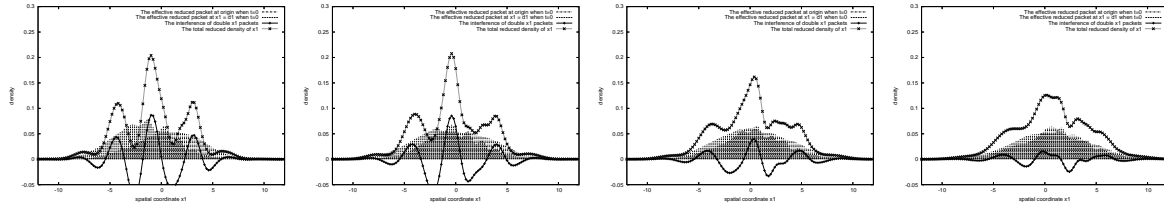


Fig. 11. The disappearance of quantum interference for particle-1 at three Schrödinger cats model. From left, the time  $t=3.5$ ,  $t=4.0$ ,  $t=4.5$ ,  $t=5.0$ . The horizontal axis is particle 1's position  $x_1(t)$ , and the vertical axis is the reduced probability density for particle-1,  $\tilde{\rho}_1(x_1)$ . The interference is damped at time  $t=4.0-5.0$ .

古典系と量子系を比較すると、古典軌道（特に異なった初期値からの軌道）が交差している時、対応する量子系でデコヒーレンスが生じている様に思える（時刻  $t=4.0-5.0$ ）。この事は、古典軌道交差が系を不可逆にし、そして量子系のユニタリ性が破れたと解釈できる。

Comparing the quantum system with the classical system, when classical orbits (especially the ones from the different initial points) are crossing, decoherence seems to arise in corresponding quantum system (time  $t=4.0-5.0$ ). This can be understood that the classical crossing make system irreversible, then unitarity of the quantum system breaks down.

この考えは単純で魅力的で、いくつかの問題点もある。私はこの古典軌道交差が量子デコヒーレンスと関係していると信じる。この研究での私の目的は、原子核物理における古典性と不可逆性の謎を解く事にある。例えば原子核の集団自由度は、それが1粒子励起などのいくつかの自由度と結合している時に古典性を得るのだろうか？ また液滴模型などの古典的描像が、何故それなりの説得力を持つのだろうか？ 私はこの研究が科学にとって意味がある事を望みます。

This thought seems to be simple and tempting, and there are some difficulties. I believe that this classical orbits' crossing relates to quantum decoherence. My goal of this study is to reveal the mystery of classicality and irreversibility in nuclear physics. For example, does a nuclear collective degree of freedom get classicality when it is coupled with some degrees of freedom such as single particle excitation? And why is it valid to use any classical pictures for nuclei such as the liquid drop model? I hope this study is meaningful for science.  $\diamond$

### **Acknowledgements**

I would like to thank Prof. Fumihiko SAKATA. He taught me nuclear physics, introduced Caldeira-Leggett's paper to me and gave me a lot of worthy advices and severe judgments. I would like to thank people in the nuclear summer school. It is a very valuable memory for me. I would like to thank people in my life in Ibaraki. Finally, I would like to thank my family.

### **References**

- 1) A.O.Caldeira and A.J.Leggett. Phys.Rev.A 31 (1985), 1059-1066.
- 2) A.O.Caldeira and A.J.Leggett. Physica A 121 (1983), 587-616.
- 3) Wojciech H.Zurek. Los Alamos Science 27 (2002), 2-25.

